MIN. PORTO ESTRELA S/A RELATORIO FINAL DE PESQUISA DNPM No. 860.052/79

VOLUME 1

RELATORIO FINAL DE PESOUTSAS 0 3 😂

- SUMÁRIO - SUSTRITO- COIABÁ-NT

1.	INTRODUÇÃO	PĀG
	· · · · · · · · · · · · · · · · · · ·	01
2.	CARACTERIZAÇÃO DAS ÁREAS	01
	2.1. Localização e acesso	01
	2.2. Fisiografia e geomorfologia	02
	2.3. Aspectos sócio-econômicos	04
3.	ENQUADRAMENTO GEOLÓGICO REGIONAL	05
4.	TRABALHOS DE PESQUISA	12,
	4.1. Considerações Iniciais	12
	4.2. Sistemática e metodologia adotadas	12
	4.2.1. Definição de alvos	13
	4.2.2. Detalhamento das áreas anômalas	13
	4.2.3. Quantificação de reservas	14
	4.3. Trabalhos realizados	14
	4.3.1. Bases cartográficas	15
	4.3.2. Mapeamento geológico	15
	4.3.3. Prospecção aluvionar	16
	4.3.4. Prospecção em solos	17
	4.3.5. Sondagem a trado/banka	18
	4.3.6. Controle da pesquisa e lavra experimental	19
	4.3.7. Sintese dos trabalhos executados	21
5.	GEOLOGIA DAS ÁREAS DE PESQUISA	23
	5.l. Estratigrafia e petrografia	23
	5.1.1. Complexo Xingu	24
	5.1.2. Formação Iriri	24
	5.1.3. Granito Teles Pires	25
	5.1.4. Diabásio Cururu	26
	5.1.5. Aluviões recentes	26
	5.2. Aspectos estruturais e evolução tectônica	27

	5.3.	Potencial metalogenético	27
	5.4.	Geologia dos jazimentos auriferos	30
	-	5.4.1. Mineralizações primárias	30
		5.4.2. Placeres auriferos	30
6.	DISC	USSÃO DOS RESULTADOS OBTIDOS	 34
	6.1.	Alvos selecionados	34
	6.2.	Quantificação de reservas	. 37
		6.2.1. Procedimentos e critérios de cálculo	37
		6.2.2. Reservas bloqueadas	39
	6.3.	Lavra experimental	41
7.	EXEQ	UIBILIDADE DA LAVRA	44
8.	CONC	LUSÕES	48
RE:	FERÊN(CIAS BIBLIOGRÁFICAS	50

APÊNDICE: PLANILHAS DE CÁLÇULOS DE RESERVAS

ANEXOS

- 1. Planta de Situação Esc. 1:250.000
- Mapa de Distribuição dos Trabalhos de Pesquisa
 Esc. 1:50.000
- 3. Mapa Geológico Bloco Bruno e Pinta no Leito Setor NPT - Esc. 1:25.000 - Des. nº 500-16-2007
- 4. Mapa Geológico Esc. 1:5000 Des. nº 500-16-3008
- 5. Mapa de Prospecção Regional Concentrado de Bateia; Esc. 1:25.000 Des. nº 500-16-1008
- 6. Mapa Amostragem de Solo Furos de Trado Esc. 1:5.000 - Des. nº 500-17-2002
- 7. Mapas de Pesquisa Aluvionar Esc. 1:1000
- 7.1. Malha de Sondagem IG. PINTA NO LEITO L.2200 L.2800
 Des. nº 500-18-1028 DNPM 860.049/79
- 7.2. Malha de Sondaç
 Des. nº 500-18-

CONTROLE DE SERVICE

7.3. Malha de Sondaç Des. nº 500-18-

Des. nº 500-184

7.4. Malha de Sondad Des. nº 500-18-

7.5. Malha de Sondag Des. nº 500-18-

7.6. Malha de Sondage Des. nº 500-18-

7.7. Malha de 'Som ac Des. nº 500-18-1

7.8. Malha de Sondage Des. nº 500-18-1

7.9. Malha de Sondage Des. nº 500-18-1

7.10. Malha de Sondagei Des. nº 500-18-10

7.11. Malha de Sondager
Des. nº 500-18-10

one NT QUANT	DISCRI	MINACAC			
7	Copia Simples	A4 1	A3		
) /_	Cópia Transp.	PxB (Cor (_ [1	
	Cópia Colorida	A4 (_)	A3 (_	_};-	
 -	Cópia Cor Couche	e <u>A4 ()</u>	A3 \	};	
	Cona Laser	A4:	A3 (_!!_	
	Copia Laser Couc	heA4	A3	_ <u>}</u> ;	
-+	Matriz	A4 (A3 (-\ ;	
$\neg \tau -$	Digitação	PxB (Cor	#-	
	limproceão Preto	A4 (A3 (\}-	
	Impressão Colori	da A4 (A3 ({}	
	IPlotagem	7XD (_	Cor ({}	
	Plotagem Vegeta	N PXB	Cor ({ -	
	Cartão de Visita	PXB_(Cor (
		a. Veg. ()Heliogi	- {	
		cracha () peq.	└ ─	
	Plastificação	Oficio (<u> </u>	mm	
	Encademação		<u>''''</u> _	mm	
	Encademação			-!!!!	
	Encadernação (Capa Duig	Comum	$\tau \neg t$	
	Banner Foto Scanner		isquete	7 1	
	Fax Local		urbano		
	Internet	minutos	e-ma	il()	
+:	Saquinho para	encadem	ação		
	Sorvete	<u> </u>			<u> </u>
	Retrigerante				

FUNCIONÁRIO_

_DATA*__/__/*_

.2800

B00

:800

- 7.12. Malha de Sondagem IG. CAMINHO L.ZERO L.1000 Des. nº 500-18-1054 DNPM 860.051/79
- 7.13. Malha de Sondagem IG. CEARÁ CAB. L.300 L.1100 Des. nº 500-18-1038 DNPM 860.051/79
- 7.14. Malha de Sondagem IG. CEARÁ CAB. L.1100 L.2000 Des. nº 500-18-1037 - DNPM - 860.051/79
- 7.15. Malha de Sondagem IG. FELICIDADE L.750 L.1600 Des. no 500-18-1022 DNPM 860.051/79
- 7.16. Malha de Sondagem IG. FELICIDADE L.200J L.750 Des. nº 500-18-1021 DNPM 860.051/79
- 7.17. Malha de Sondagem IG. ARROZ L.ZERO L.950 Des. nº 500-18-1009 - DNPM - 860.052/79
- 7.18. Malha de Sondagem IG. PAULÃO L.200J L.650 Des. nº 500-18-1024 - DNPM - 860.052/79
- 7.19. Malha de Sondagem IG. PORCÃO L.600 L.1100 Des. nº 500-18-1017 DNPM 860.052/79
- 7.20. Malha de Sondagem IG. PORCÃO L.1750 L.2200 Des. 500-18-1019 - DNPM - 860.052/79
- 7.21. Malha de Sondagem IG. PORCÃO L.1050 L.1750 Des. nº 500-18-1018 DNPM 860.052/79
- 7.22. Malha de Sondagem IG. PARAÍBA L.4005 L.350N Des. nº 500-18-1002 DNPM 860.052/79
- 7.23. Malha de Sondagem IG. PARAÍBA L.350N L.1400N Des. nº 500-18-1008 - DNPM- 860.052/79
- 8. Cartogramas Esc. 1:1.000
- 8.1. Cartogramas de Isopacas IG. ARROZ L.ZERO L.950
 Des. nº 500-19-2014 DNPM 860.052/79
- 8.2. Cartogramas de Isópacas IG. PARAÍBA L.50N L.350N Des. nº 500-19-2015 DNPM 860.052/79
- 8.3. Cartogramas de Isópacas IG. PARAÍBA L.400S L.100N
 Des. nº 500-19-2003 DNPM 860.052/79
- 8.4. Cartogramas de Isópacas IG. PARAÍBA L.350N L.1400N Des. nº 500-19-2013 - DNPM - 860.052/79
- 8.5. Cartogramas de Isoteores IG. ARROZ L.ZERO L.950 Des. nº 500-19-1014 DNPM 860.052/79
- 8.6. Cartogramas de Isoteores IG. PARAÍBA L.50N L.350N Des. nº 500-19-1015 DNPM 860.052/79

- 8.7. Cartogramas de Isoteores IG. PARAÍBA L.4005 L.100N Des. nº 500-19-1003 - DNPM - 860.052/79
- 8.8. Cartogramas de Isoteores IG. PARAÍBA L.350N L.1400N Des. nº 500-19-1013 DNPM 860.052/79
- 8.9. Cartogramas de Conteúdo Metálico IG. PARAÍBA L.400S L.100N
 . Des. nº 500-19-3003 DNPM 860.052/79
- 8.10. Cartogramas de Blocos IG. PARAÍBA L.550N L.1400N Des. nº 500-19-4008 - DNPM - 860.052/79
- 8.11. Cartogramas de Blocos IG. ARROZ L.ZERO L.950 Des. no 500-19-4007 - DNPM - 860.052/79
- 8.12. Cartograma de Blocos IG. PAULÃO L.100J L.350 Des. nº 500.19.4013 - DNPM - 860.052/79

1. INTRODUÇÃO

Este Relatório Final de Pesquisa consol<u>i</u> da as informações obtidas em programa de pesquisa mineral execut<u>a</u> do em quatro áreas contíguas de 1.000 ha cada, originalmente requeridas por ARIOSTO DA RIVA para pesquisa de cassiterita.

As áreas referem-se aos processos DNPM nos 860.049, 860.050, 860.051 e 860.052/79, e respectivos alvarás de pesquisa, publicados no D.O.U. em 19.10.84, sob números 6.794, 6.795, 6.796 e 6.797, com prazos renovados por dois anos.

Os títulos de autorização, inicialmente incorporados à AJAPI EMPRESA DE MINERAÇÃO LTDA — conforme contra to de constituição de 26.2.81 —, foram transferidos à MINERAÇÃO PORTO ESTRELA S/A, atual titular, por alteração contratual de 26.11.82. Integram o conjunto de áreas da mina de ouro de Novo Planeta, operada pela titular no Município de Alta Floresta — MT.

Após constatação nessas áreas da ocorrên cia de ouro, os trabalhos foram reorientados para pesquisa também dessa substância, conforme comunicado ao DNPM no Relatório Parcial de Pesquisa, por ocasião do pedido de renovação dos alvarás.

Os resultados finais aqui apresentados, embora negativos para cassiterita, atestam a existência de reservas aluvionares de ouro nas quatro áreas, totalizando 6.619.334m³ de minério, com 925.126 gAu contido.

Sua explotabilidade é plenamente assegurada pelos parâmetros técnicos e econômicos indicados pela pesquisa e ajustados em lavra experimental, e está apoiada na larga experiência adquirida pelo GRUPO PARANAPANEMA — ao qual está vinculada a empresa titular — em mineração aluvionar na Amazônia.

. 2. CARACTERIZAÇÃO DAS ÁREAS

2.1 - Localização e acesso

As áreas pesquisadas situam-se no local denominado Entre Rios Apiacás e Ximari, Distrito e Município de Alta Floresta, Comarca de Cuiabá, Estado de Mato Grosso. Cobrem superfície de 1.000 ha cada, delimitando portanto 4.000 ha autorizados para pesquisa.

Têm como ponto de amarração a confluência do igarapé do Bruno com o rio Apiacas, e são definidas pelos seguintes vetores e lados a partir do vértice inicial:

PROCESSO DNPM NO	VETOR DE EXTENSÃO	AMARRAÇÃO RUMO	LADOS (m)
860.049/79	24.549m	72 [°] 50 NW	2500E,4000S,2500W,4000N
860.050/79	21.173m	70 ⁰ 50 NW	2500E,4000S,2500W,4000N
860.051/79	16.531m	65 ⁰ 08 NW	4000S,2500W,4000N,2500E
860.052/79	16.531m	65 ⁰ 08 NW	2500E,4000S,2500W,4000N

O Anexo 1 — Planta de Situação — apresenta sua delimitação no conjunto de áreas da mina de Novo Planeta, outorgadas à MINERAÇÃO PORTO ESTRELA S/A e empresas controladas.

A cidade de Alta Floresta constitui a base urbana do projeto-de pesquisa. Está interligada por linhas aéreas comerciais a Cuiabá e Santarém e, por via terrestre, à BR-163 (rodovia Cuiabá - Santarém), através da MT-208.

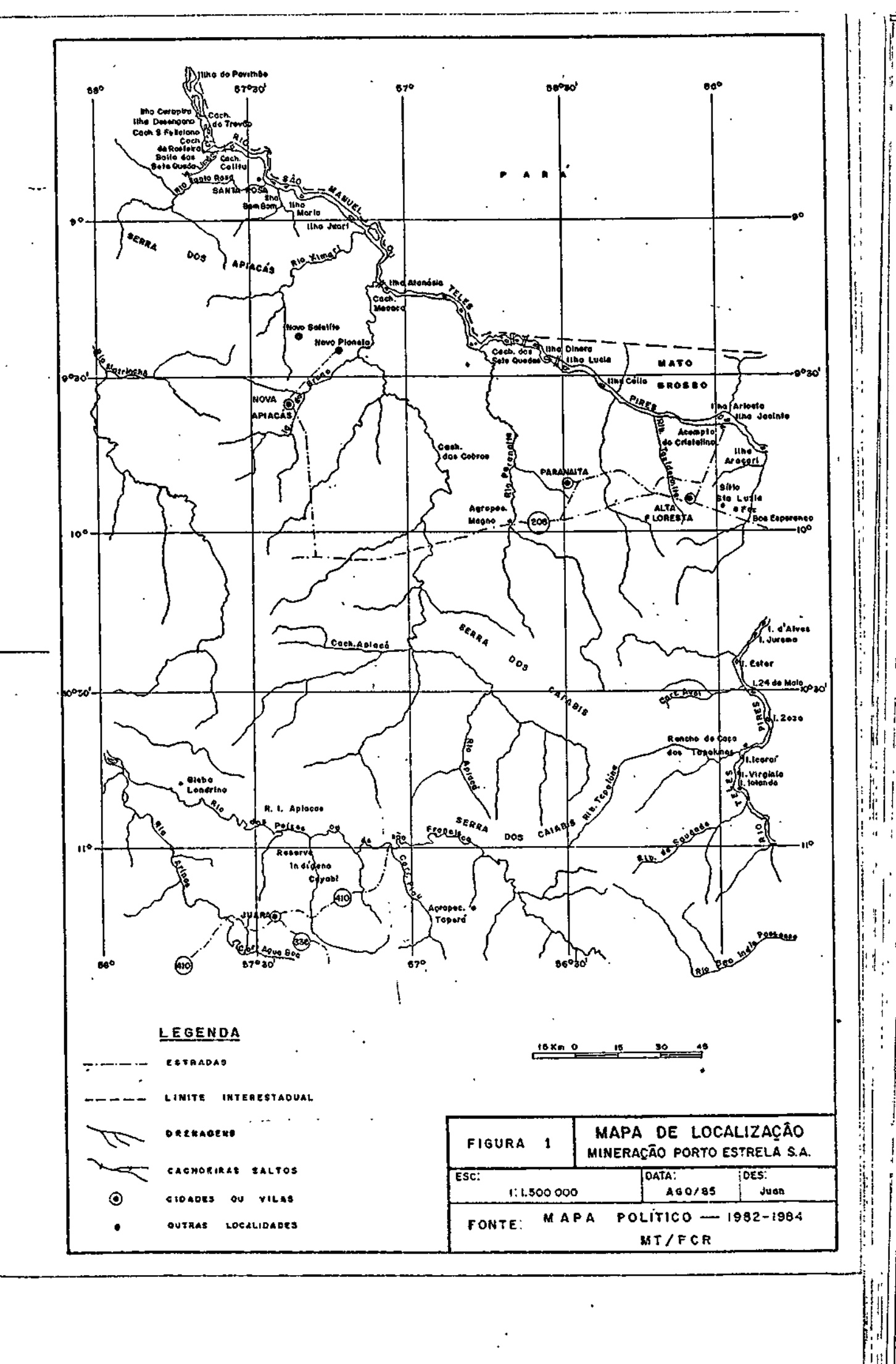
A Figura l apresenta a localização das áreas em relação à sede do Município e localidades próximas. A li gação rodoviária, atualmente com tráfego regular também na estação chuvosa, corresponde a distância aproximada de 250Km. Por via aérea, o acesso é feito por aviões mono ou bimotores, com tempo de vôo em torno de 25 minutos a partir de Alta Floresta.

2.2 - Fisiografía e geomorfología

Geograficamente, as áreas enquadram-se na bacia do rio Tapajós. Estão situadas no interflúvio dos rios Ximari e Apiacá, nas proximidades de suas confluências com o rio Teles Pires (ou São Manuel), do qual são tributários pela margem es querda.

Correspondem aos terrenos arrasados do Planalto Dissecado Sul da Amazônia (MELO e MOREIRA FRANCO, 1980), à margem do flanco sul da serra dos Apiacas. Caracterizam-se por formas dissecadas de topos convexos a tabulares e aguçados, instaladas sobre rochas pré-cambrianas.

A drenagem é relativamente densa e encai



xada, com aluvionamento expressivo apenas nos maiores coletores. A cobertura vegetal corresponde à transição savana/floresta. Predominam solos lateríticos, por vezes concrecionários, com espessuras médias da ordem de 5m.

O clima é quente e úmido, com secas máximas de três meses (junho a agosto).

2.3 - Aspectos sócio-econômicos

A região de modo geral é pouco povoada , destacando-se alguns centros urbanos de evolução recente relacionados a colonizações agropecuárias e à produção de ouro, como é o caso de Alta Floresta, Paranaíta e Nova Apiacá.

Essas atividades impulsionam a existência nesses centros de intenso comércio e demais ítens de serviçohospitais, escolas, etc — e implicam em contínua interiorização das vias de acesso, com abertura de estradas e pistas de pouso para apoio a novas fazendas e garimpos.

Têm promovido, consequentemente, profundas e rápidas transformações na estrutura sócio-econômica da região, com intenso fluxo migratório de outras regiões do país ——notadamente dos estados do sul ——, a partir do final da década de setenta.

As atividades do Grupo Paranapanema nas áreas tiveram início em 1981, após negociações bem sucedidas com os detentores dos alvarás. Além da base de apoio em Alta Floresta, foi preparada em Novo Planeta toda a infraestrutura necessária ao projeto de pesquisa e lavra experimental, constando de pista de pouso (800m de extensão), e acampamento central com alojamentos, escritórios técnico e administrativo, laboratório e demais serviços de apoio — comunicação, almoxarifado, cantina, oficinas, etc.

Ao lado das dificuldades naturais impostas a esse tipo de atividade na Amazônia, merecem destaque, na re gião de Novo Planeta, quatro aspectos particularmente graves, resultantes basicamente da permanência de garimpos ativos inclusive em áreas com alvarás de pesquisa:

- comprometimento das condições de salu

- permanente clima de tensão, com ameaças expressas ou veladas à segurança dos funcionários e ao patrimônio da empresa, culminando com várias ações armadas de assaltos, atentados e assassinato de funcionário da empresa;

- invalidação de dados de pesquisa e mutilação de jazidas, por invasão de áreas já pesquisadas ou em pes quisa;

- escassez de oferta de mão-de-obra operária ou especializada.

Isto permite avaliar o esforço adicional dispendido pela empresa ao longo do programa de pesquisa, e retra ta com nitidez sua disposição constante para implantação da mineração organizada na região. A descrição dos trabalhos realizados e resultados obtidos, apresentada adiante, fornece um panorama atua lizado da magnitude e perspectivas desse singular projeto de explotação de ouro aluvionar na Amazônia.

Além de expressivos benefícios trazidos à região, o Projeto Novo Planeta resultou, ao longo de sua execução, em sensível aprimoramento na metodologia adotada na exploração, pesquisa o lavra desse minério, com desenvolvimento de técnicas inovadoras, e ajuste à realidade local de técnicas já consagradas em outras áreas.

Promoveu, por outro lado, efetivo treina mento de pessoal técnico e auxiliar, sobretudo na fase de lavra experimental, permitindo de imediato o inicio das operações da mi na em escala industrial.

3. ENQUADRAMENTO GEOLÓGICO REGIONAL

Os dados referentes à geologia regional resultam de levantamentos básicos executados pelo convênio DNPM / CPRM (projetos Aripuanã-Sucunduri, Apiacás, São Manuel), e trabalhos de síntese do RADAMBRASIL (folha Juruena).

Embora ressintam-se em alguns casos de escassez de dados de campo, permitem esboçar com segurança o arca bouço geológico no qual se inserem as áreas de pesquisa. Fornecem

6

efetivamente um quadro abrangente sobre a litoestratigrafia e tec tônica da região envolvente, e acrescentam dados importantes sobre petrografia, petrogênese, geocronologia, possibilidades metalogenéticas e analogias com outras áreas.

A região é dominada por terrenos pré-cam brianos, com a seguinte compartimentação estratigráfica, da base para o topo (SILVA et al., 1980):

— complexo Xingu: embasamento polimeta mórfico no domínio do Craton do Guaporé, predominante ao sul do conjunto de áreas de pesquisa. É constituído de granitos, adame litos, granodioritos, quartzo-dioritos, metabasitos, xistos e raros anfibolitos e granulitos.

— Grupo Vatumã: estende-se por uma fai xa alongada segundo E-W, margeando o graben do Cachimbo, e está discordantemente assentado sobre o Complexo Xingu. Inclui a Formação Iníti, com 1550-1700 m.a., composta por riolitos, riodacitos, dacitos, andesitos, tufos ácidos, aglomerados vulcânicos e rochas sedimentares associadas (conglomerados, arcóseos, siltitos, folhelhos e cherts); na qual se alojam corpos circulares intrusivos reunidos sob a denominação de Granito Teles Pines, com idades em torno de 1550 m.a. Estes compreendem granitos, granófiros e microgranitos de tendência alasquítica, sub-vulcânicos, por vezes com textura rapakivi.

— Grupo Beneficente: sedimentos do Proterozóico médio, instalados no graben do Cachimbo, notável feição geológica ao norte das áreas de pesquisa. Ocorrem arenitos ortoquartzíticos, brancos, bem selecionados, sacaróides, passando a arcoseanos; arcóseos claros a avermelhados, siltitos, folhelhos, calcários e cherts subordinados.

— diabāsio Cururu : diques básicos jurássicos.

- aluviões hecentes: sedimentos inconsolidados nas calhas da rede de drenagem, formados por cascalhos,
areias e sobretudo argilas. Destacam-se por seu potencial de acu
mulação de minerais pesados.

A Figura 2 apresenta a coluna estratigr $\underline{\tilde{a}}$ fica da região estudada.

F16. 2

	HOLOC	ENO	Au. Au.	Ĺ
ON ~	86	RUPO NEFICENTE p & b }	-,	
PRÉ-CAMBRIANO SUPERIOR	BRUPO UATUMĀ	GRANITO TELES PIRES (p d f t) FORMAÇÃO tri t l (p c d)		-
PRÉ - CAMBRIANO MÉDIO A SUPERIOR		OMPLEXO XINGU		

COBERTURAS DETRITO - LATERÍTICAS E ALUVIÕES - DISCORDÂNCIA

ARENITOS ARCOSEANOS CLAROS, SILTITOS E ARGILITOS ORA SILICIFICADOS, COM DIQUES DE DIABÁSIO (VV)

FALHA NORMAL

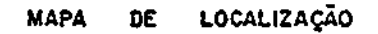
GRANÓFIROS (4 1), BIOTITA—GRANITO FINO (4 +), MÉDIO (4 +), MICROGRANITO ($\frac{4}{3}\frac{4}{2}$), SUBVULCÂNICOS, ORA PORTADORES DE XENÓLITOS (4 A 4)

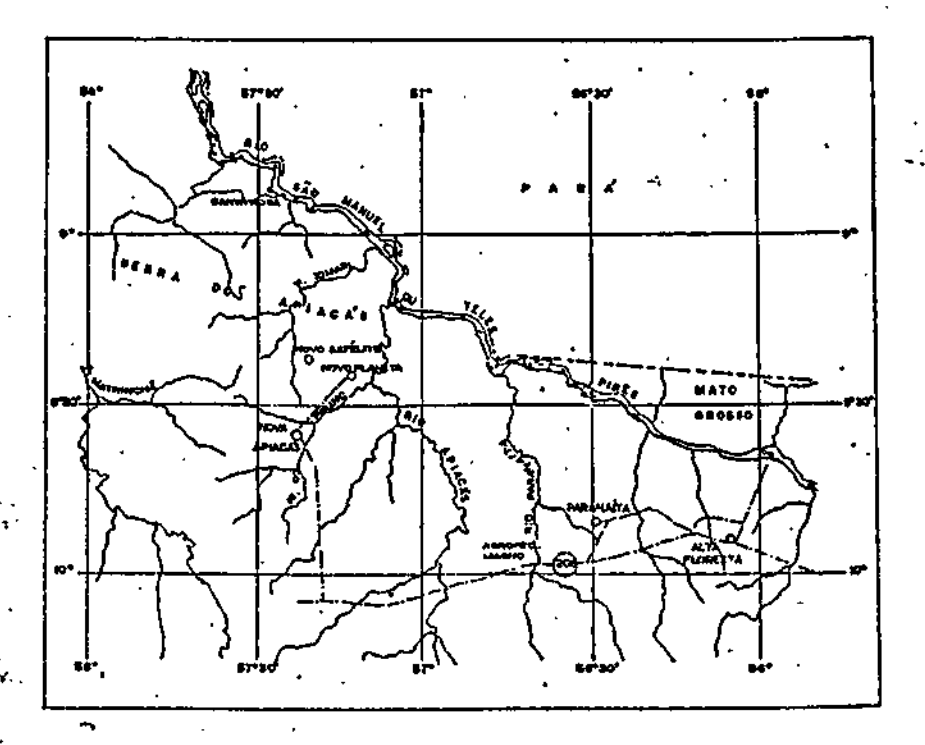
RIÓLITOS E QUARTZO PÓRFIROS (...) COM RIODACITOS E DACITOS SUBORDINADOS,CONTADOS POR DIQUES DE DIABÁSIO (Y...) EM CONTATO TERMO-GRADACIONAL COM O GRANITO TELES PIRES — DISCORDÂNCIA

- CONTATO TERMO - TECTÔNICO

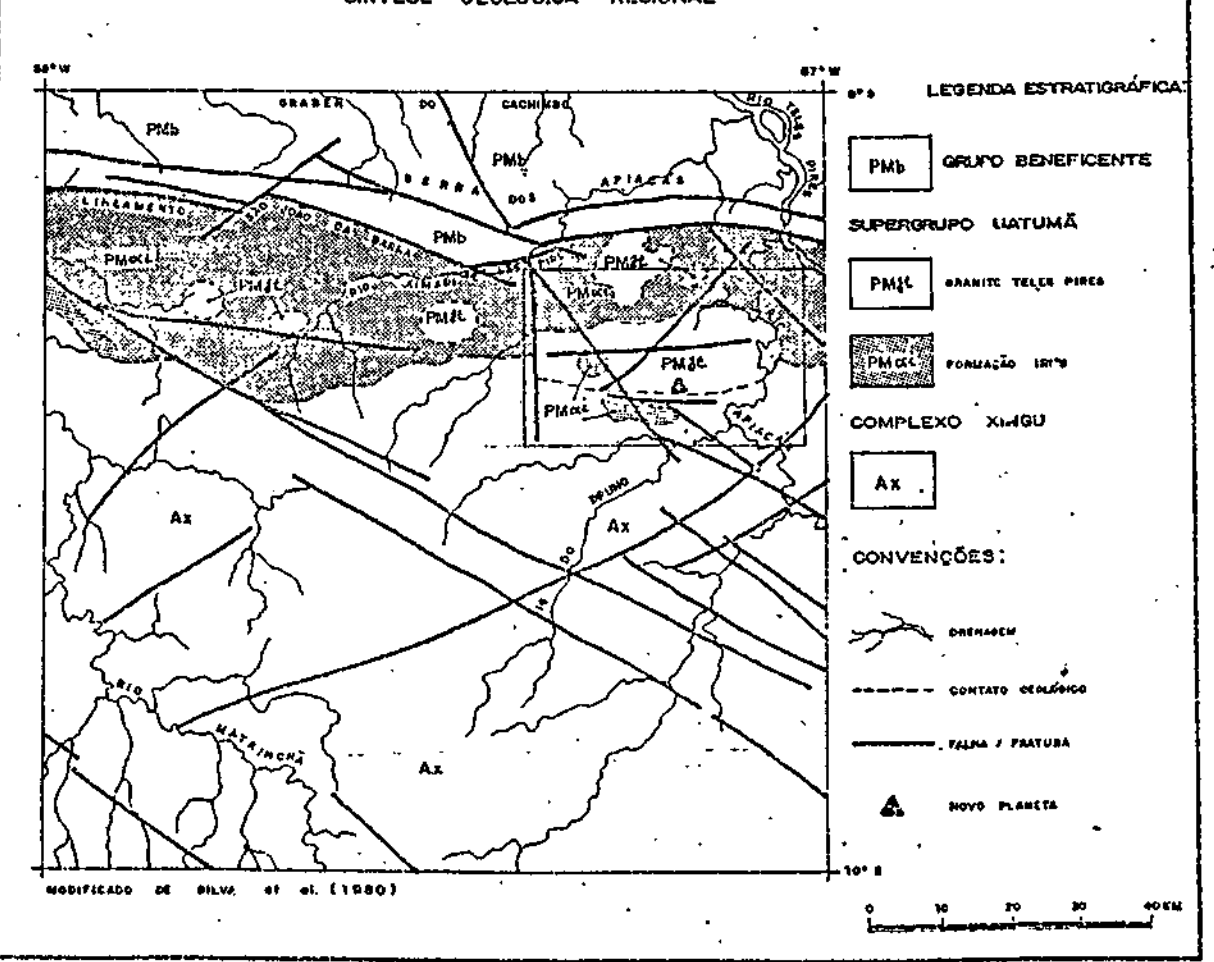
GRANITOS MÉDIOS (x x) A GROSSEIROS

E SUBORDINADAMENTE FINOS A PEGMATÓIDES, CORTADOS POR DIQUES DE
DIABÁSIO (Vv), ANFIBOLITOS (=) E DE ROCHAS:
ÁCIDAS (<<), GRANITOS ANATÉTICOS COM XENÓLITOS (A)





SÍNTESE GEOLOGICA REGIONAL



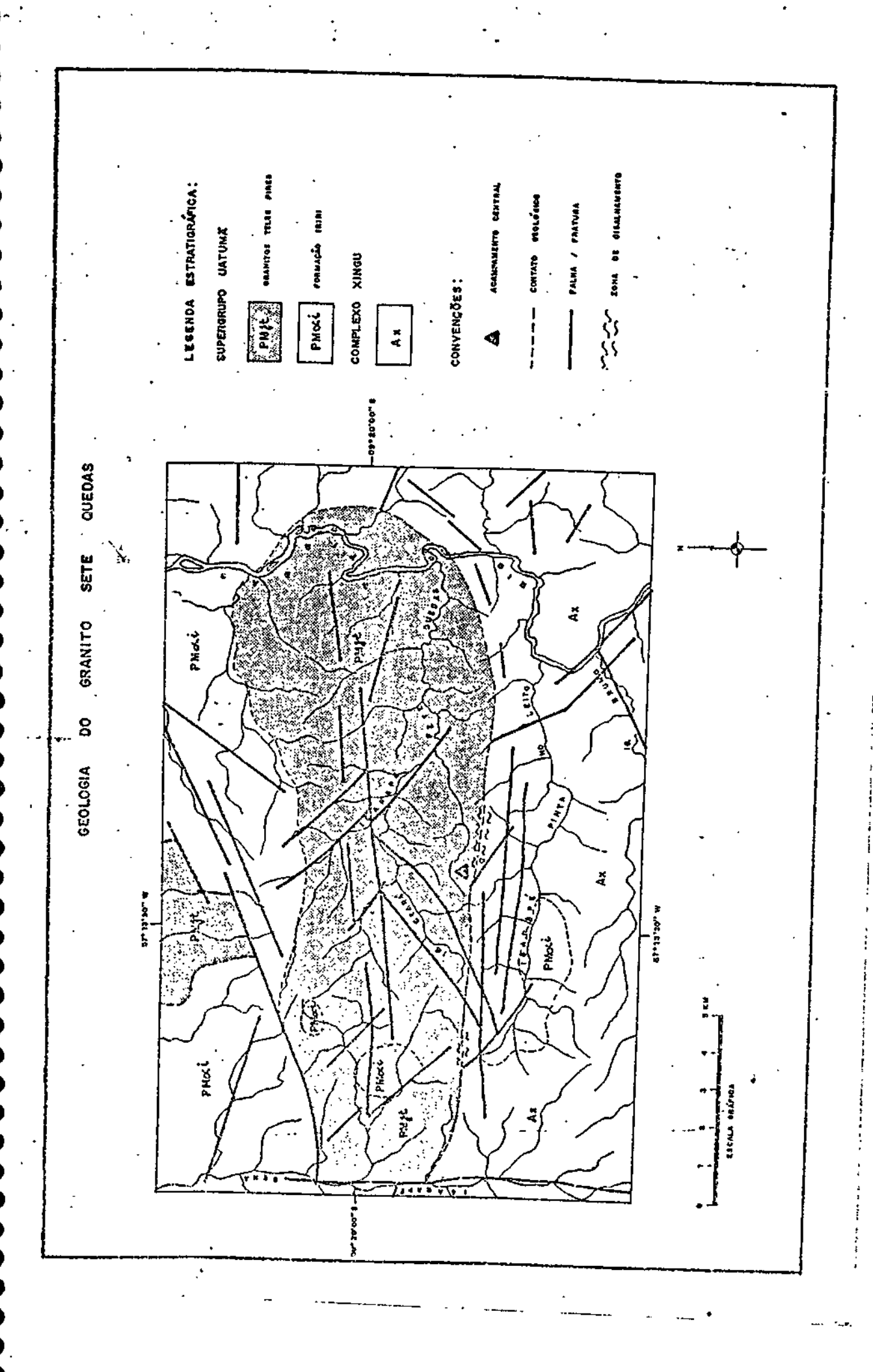




FOTO 1 - VISTA PARCIAL DO ACAMPAMENTO DA MINA DE NOVO PLANETA.

O IGARAPE PAU MOLE APARECE EM PRIMEIRO PLANO.



FOTO 2 - IGARAPE MARABA. AREA INTENSAMENTE GARIMPADA, RESTANDO APENAS REJEITOS DAS "DRAGAS" UTILIZADAS PELOS GARIMPEI ROS.

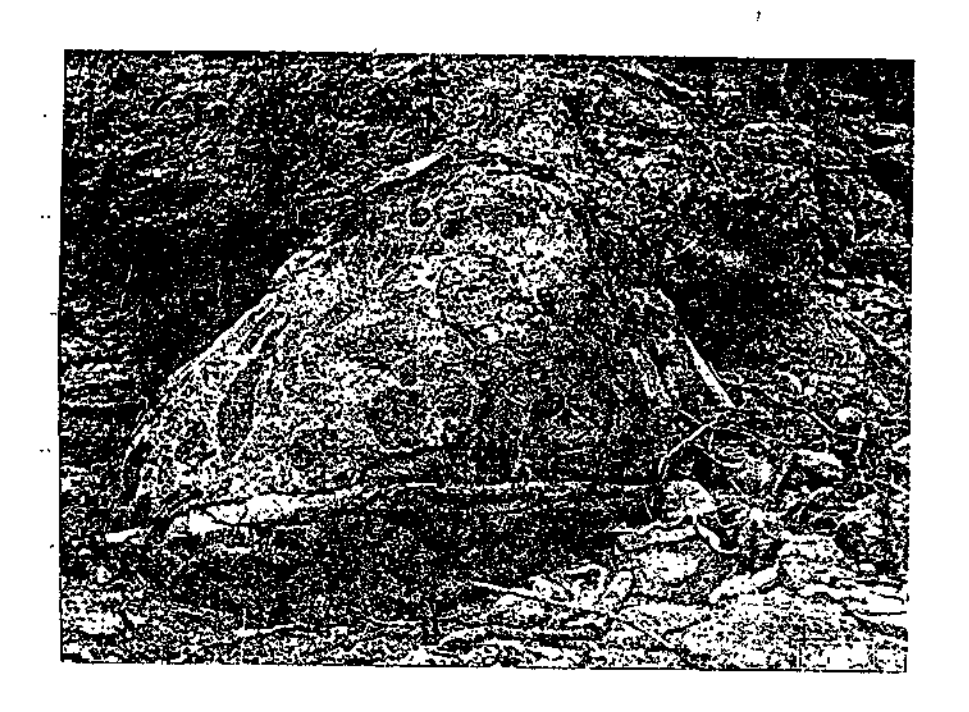


FOTO 3 - "BOULDER". GRANITO TELES PIRES COM XENÓLITOS DE TAMA
NHO, FORMA E COMPOSIÇÃO VARIADA. IGARAPE DAVON.

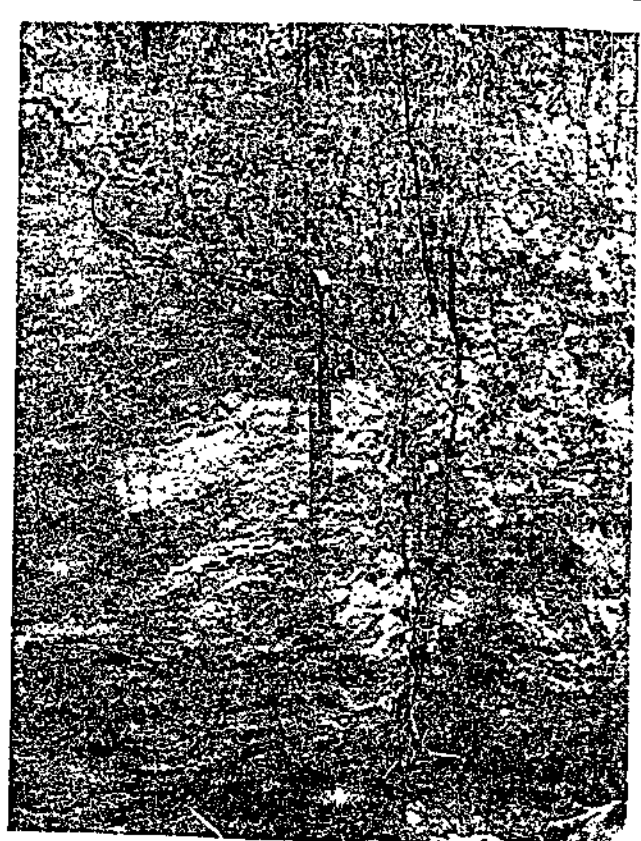


FOTO 4 - DETALHE DO ALUVIÃO - IGARAPÉ MARABÁ - MOSTRANDO COM TATO BRUSCO ENTRE A AREIA GROSSA/CASCALHO FINO ESTRA TIFICADO COM ARGILA/AREIA FINA.

4. TRABALHOS DE PESQUISA

=4

4.1 - Considerações iniciais

Os trabalhos de pesquisa no conjunto de concessões que constituem a região de Novo Planeta foram marca dos pela permanente presença de atividades garimpeiras, que fre quentemente descaracterizaram os resultados obtidos, exigindo ca ras e demoradas repetições de amostragem. Em muitos locais, a re tomada dos serviços resultou extremamente difícil e mesmo inviável.

De qualquer forma, o volume e a qualida de das informações obtidas e apresentadas neste relatório deixa evidente a disposição de trabalho e os êxitos alcançados no de correr do Projeto, sobretudo quanto à definição de reservas e se leção de trechos para lavra experimental. A titular, em verdade, mantém ativa e permanente presença na região, confiante no empenho das autoridades em fazer cumprir a legislação em vigor, e es pera ver em breve concretizada e solidificada sua meta de implantação da mineração organizada em Novo Planeta.

4.2 - Sistemática e metodologia adotadas

O conjunto de técnicas de prospecção e pesquisa adotadas em Novo Planeta — voltadas à busca de concentrações secundárias e primárias de minerais pesados (sobretudo ouro) — tem sido continuamente aperfeiçoado e ajustado à realidade geológica regional e aos alvos pretendidos.

Os trabalhos são desenvolvidos em etapas sequenciais de detalhamento progressivo, fundamentadas em contínuo adensamento dos dados, com controle da qualidade das informações — através de padronização e rigoroso acompanhamento das operações de campo e laboratório.

Os resultados finais obtidos — confrontados com informações geradas em lavra experimental — permitem assim a definição segura dos parâmetros técnicos e econômicos necessários à implantação de lavra industrial.

Apresenta-se a seguir uma síntese dos objetivos e métodos correspondentes a cada etapa.

4.2.1 Definição de alvos

Os levantamentos básicos para definição de alvos compreendem a realização conjunta de mapeamento geológico e prospecção aluvionar. Os dados obtidos permitem definir os traços geológicos principais e avaliar o potencial econômico das unidades delimitadas, com seleção de trechos promissores para continuidade dos trabalhos, e de trechos comprovadamente estéreis para descarte.

Os concentrados de bateia são inspeciona dos em estereo-microscópio para identificação mineralógica e con tagem das pintas de Au presentes, complementada por ensaios rápidos para análise visual de outras substâncias (por exemplo, cassiterita). Além disso, são selecionadas amostras representativas, estrategicamente distribuídas na rede de drenagem, para análise espectrográfica semí-quantitativa de 30 elementos na fração fina

As prioridades são estabelecidas após tratamento estatístico dos dados geoguímicos, selecionando-se os al vos pela análise da ordem, consistência e contraste das anomalias, e da correlação dos resultados para Au com outros elementos de interesse eventualmente presentes.

4.2.2 Detalhamento das areas anômalas

Após a seleção, os alvos são inspecionados para confirmação dos resultados e definição da origem das anomalias. Tratando-se de aluviões, os treches com indicações de mineralização são detalhados para caracterização preliminar do depósito e avaliação do seu potencial quanto ao volume, regularidade, situação geológica, etc.

Em seguida é implantada sondagém exploratória, com utilização consorciada de trado IPT/sonda Banka, em ma lhas 800 x 20 e 400 x 20m. Os concentrados são obtidos em central de bateamento, e após exame em estereo-microscópio, são ana lisados para Au por amalgamação, no laboratório de Novo Planeta.

Nos interflúvios dos igarapés anômalos é feita amostragem de solo em malha regular, visando detectar con-

centrações elúvio-coluvionares e eventuais indicações de mineralizações primárias. O material coletado superficialmente é concentrado em bateia para contagem de pintas, e a verificação das anomalias é feita com sondagem a trado, seguida da abertura de poços.

4.2.3 Quantificação de reservas

A quantificação de reservas aluvionares é feita com progressivo adensamento da malha de sondagem, com es paçamentos de 200 x 20, 100 x 20 e 50 x 20m. O flat é mapeado para delimitação do depósito, afloramentos e áreas garimpadas even tualmente existentes, sobre base plani-altimétrica preparatória para cubagem.

Os resultados dos furos são verificados através de poços de controle para caracterização estratigráfica e inspeção de teores. Os procedimentos de cálculo e critérios de avaliação adotados são discutidos adiante.

4.3 - Trabalhos realizados

As áreas em questão foram exaustivamente investigadas segundo a sistemática e metodologia acima descritas, com vistas à definição de jazimentos economicamente aproveitã-veis.

Embora o quadro geológico previamente de finido por levantamentos regionais — DNPM/CPRM, RADAMBRASIL — apresentasse ampla gama de possibilidades de ocorrências de minerais pesados, os trabalhos iniciais confirmaram as perspectivas apenas para mineralizações auríferas, justificando a reorientação do projeto de pesquisa à época de renovação dos alvarás.

De qualquer modo, os trabalhos foram sem pre conduzidos de modo a permitir a detecção de outras substâncias minerais, bem como concentrações de ouro fora do domínio dos aluviões. A descrição dos trabalhos realizados, apresentada a se guir, e a discussão dos resultados obtidos, refletem a orientação abrangente que caracterizou a pesquisa e permitem avaliar o nível de conhecimento atingido no conjunto de áreas. O Anexo 2 contém o Mapa de Distribuição dos Trabalhos de Pesquisa.

4.3.1 Bases cartográficas

Os trabalhos preparatórios tiveram início com elaboração de base cartográfica adequada para a programação de trabalho, execução, registro e interpretação dos resultados.

Foi preparada base plani-altimétrica na escala 1:25.000, por foto-restituição controlada de aerofotos 1:70.000, cobrindo superfície de 2.375 km², referentes à totalida de das áreas de interesse em Novo Planeta.

4.3.2 Mapeamento geológico

O mapeamento geológico obedeceu as siste máticas usuais adotadas na Amazônia, constando de: interpretação preliminar de imagens aéreas; inspeção, no campo, dos trechos selecionados, com descrição de afloramentos e coleta de amostras; seguida de reinterpretação das imagens, elaboração de mapa e texto explicativo, com apoio de estudos petrográficos ao microscópio.

Os trabalhos de campo exigiram, em razão das dificuldades de acesso na região, a abertura de picadas de penetração e a instalação de acampamentos volantes.

Foram mapeados inicialmente cerca de 1.140 km² na escala 1:50.000, surperfície correspondente à totalidade das áreas do Projeto. Os trabalhos foram executados entre setembro de 1984 e junho de 1985.

Paràlelamente foi mapeada na escala 1:25.000 a porção correspondente à área em apreço e arredores, co brindo aproximadamente 450 km² (vide Anexo 3).

Foram coletadas nesses levantamentos cer ca de 250 amostras de rocha, das quais 23 foram submetidas a ensaios petrográficos (vide boletins GEOSOL e CPRM no Anexo 9).

Posteriormente foram detalhados cerca de 12 km² na escala 1:5.000, no entorno do acampamento central, visando a definição dos controles geológicos da mineralização aurífera. Os trabalhos desnvolveram-se no período de janeiro a

junho de 1985. O Mapa Geológico de Detalhe é apresentado no Anexo 4.

Os critérios utilizados em campo e escritório, nas fases de coleta, interpretação dos dados é elaboração dos mapas, constam da discussão geológica apresentada no item 5.

4.3.3 Prospecção aluvionar

A campanha de prospecção aluvionar consistiu na coleta de sedimentos ativos de drenagem nos elementos de 3ª, 4ª, 5ª e 6ª ordens, em pontos previamente selecionados para garantir homogeneidade e representatividade à cobertura amostral.

A amostragem foi composta, coletando-se, em cada estação programada, 10 litros para concentração em bateia, identificação mineralógica e contagem das pintas de Au; e cerca de 1 litro para determinação de elementos - traço adsorvidos na fração fina, após secagem e peneiramento a 80 malhas.

Foram coletadas 831 amostras duplas ——concentrado de bateía e fração fina —— em superfície total em torno de 1.140 km², resultando em densidade média de 1 amostra / 1,37 km². Os trabalhos foram executados entre setembro de 1983 e maio de 1985.

O Anexo 5 apresenta o mapa de localização das amostras coletadas no conjunto de areas e arredores, com anotação dos resultados obtidos para Au em concentrado de bateia.

Os concentrados são examinados em estéreo-microscópio, sendo as pintas de Au classificadas segundo a tabela abaixo :

PINTA	GRANULOMETRIA (malhas)	PESO APROXIMADO (mg)	[EQUIVALÊNCIA
		•		.
Pl	Maior que 28	12,00		504 P4
P2	28 a 35 .	1,00	·	42 P4
P 3	35 a 100	0,08		12 P4
P4	100 a 115	0,02		←

A transformação dos resultados segundo sua equivalência em pintas 4 ressalta a presença dos grãos maio-

res, destacando consequentemente as anomalias relativas a ouro mais grosseiro.

Foram selecionadas 18 amostras representativas do conjunto de áreas para análise por varredura de 30 elementos - Fe, Mg, Ca, Ti, Mn, Ag, As, Au, B, Ba, Be, Bi, Cd,Co, Cr, Cu, La, Mo, Nb, Ni, Pb, Sb, Se, Sn, Sr, V, W, Y, Zn, e Zr —, na fração fina, a fim de identificar outras possibilidades metalogenéticas e, eventualmente, elementos rastreadores para Au primário.

Os boletins de análise CPRM/LAMIN são apresentados no Anexo 10, e os resultados são discutidos adiante.

4.3.4 Prospecção em solos

Na porção central do conjunto de áreas foi implantada amostragem superficial de solo em malha regular , para concentração em bateia e contagem de pintas de Au.

A malha inicial foi de 200 x 50m,com adem samento progressivo nos trechos anômalos, onde o espaçamento de amostragem atingiu 25 x 25m. Inicialmente locada a trena e bússola, a malha foi posteriormente levantada com teodolito.

Foi coberta superfície de 12 km², total<u>i</u> zando 707 amostras. A coleta foi feita com cavadeira manual (t<u>i</u> po boca de lobo) até profundidade de 30 cm, correspondendo a volume de aproximadamente 5 litros. O material foi processado em central de bateamento — para controle das perdas na concentração — e examinado em estéreo-microscópio para identificação mi neralógica e contagem das pintas de Au.

Os resultados foram tratados estatistica mente para definição dos parâmetros geoquímicos e delimitação das anomalias. Estas foram investigadas com furos de trado manual tipo IPT, com diâmetro de 4" — posteriormente executados em to da a malha de amostragem —, e poços de verificação.

Os poços foram descritos e amostrados em canaletas múltiplas — quatro a cinco por poço — para correlação de teores. O material escavado foi integralmente processado em equipamento de concentração tipo nochen-sluice — desenvolvi

10101

do pela equipe de geologia de Novo Planeta —, com intervalos de amostragem de lm.

Foram realizados 406 furos de trado, totalizando 1.716 m de sondagem; e abertos 8 poços, perfazendo 26,9 m³ de escavações.

A localização dos trabalhos e resultados obtidos, comentados adiante, é apresentada no Anexo 6.

4.3.5 Sondagem a trado/banka

A sondagem aluvionar em Novo Planeta baseia-se na utilização consorciada de trado manual tipo IPT e son da Banka, com diâmetros de 4", o que garante elevado nível de produtividade e qualidade dos resultados.

Utiliza-se o trado na porção acima do ní vel freático, complementando-se o furo com sonda Banka até a rocha-base (bedrock). Adota-se boletim de sondagem misto, já que os dois equipamentos têm características distintas, sobretudo quanto à recuperação e empolamento do material, e fatores de correção correspondentes.

Os aluviões enquadrados pelo conjunto de áreas foram sistematicamente sondados, com progressivo adensamento da malha — 800 x 20, 400 x 20, 200 x 20, 100 x 20, 50 x 20 metros, chegando a espaçamentos de 25 metros nos trechos parcialmente afetados por trabalhos de garimpo.

O teor de referência adotado na condução da sondagem — utilizado como critério para prosseguimento ou interrupção das linhas — foi de 200 mgAu/m³.

Da mesma forma que na sondagem a trado anteriormente comentada; os resultados obtidos nos furos foram confrontados com observações feitas em poços de controle e, sobretudo, com teores de canaletas executadas nas frentes de lavra experimental.

Os furos foram locados e nivelados para registro em mapas detalhados contendo informações relativas à caracterização do depósitos —— largura do flat, afloramentos, trechos garimpados, etc.

O Quadro 1 discrimina — por malha e por igarapé — os trabalhos de sondagem executados no decorrer do projeto. O Anexo 7 contém os mapas de pesquisa 1:1000 das áreas pesquisadas, com localização das sondagens realizadas e resultados obtidos, cuja discussão é apresentada no item 6.

A história do projeto registra inúmeros casos de invasão garimpeira em áreas já pesquisadas, com consequente invalidação dos resultados obtidos. Nesses casos, os dados apresentados referem-se aos trabalhos de reavaliação executa dos após a desocupação, retratando portanto o estágio final da pesquisa em Novo Planeta.

4.3.6 Controle da pesquisa e lavra experimental

A aferição e controle de qualidade dos dados de pesquisa — através de confronto com poços de pesquisa e do acompanhamento da lavra experimental —, estiveram a cargo de uma seção específica, e resultaram em aprimoramentos nas sistemáticas operacionais de coleta e tratamento das amostras.

Os cuidados adicionais introduzidos nos procedimentos de sondagem, e na obtenção de concentrados, permitiram minimizar as distorções causadas sobretudo por recuperação deficiente, no caso da sonda banka, e/ou perdas no bateamento — fatores particularmente graves quando se trata de minério de ouro.

Desta forma, a concentração das amostras foi feita em tanques — para reprocessamento do material em bateia e controle das perdas —, ou em rocker-sluice desenvolvido para tratamento de amostras mais volumosas. Os ensaios comparativos periodicamente efetuados revelaram resultados bastante sa tisfatórios na preparação das amostras.

A lavra experimental é executada com dois tipos de equipamento:

— nos depósitos de maior porte, planta de concentração flutuante alimentada por retro-escavadeira, com capacidade nominal de 32.500 m³/mês.

- nos depósitos de menor porte, planta semi-móvel alimentada por desmonte hidráulico - auxiliado em

ROCESSO DNPM	IGARAPÉ	TRECHO	MALHA FINAL DE SONDAGEM (m)	NÚMERO DE FUROS	EXTENSÃO TOTAL (m)
860.049/79	CLAREIRA PINTA NO LEITO	 L-2200 a 2800	200 x 20 100 x 20	8 28	18,00 83,65
860.050/79	SUB-TOTAL PINTA NO LEITO P.LEITO GARIMPEIRO	L-400 a 1600 L-400 a 2800	800 x 20 200 x 20	36 24 65	101,65 85,50 171,95
	FOFOCA VELHA PALMEIRA	L-0 a 400 L-0 a 1200	100 x 20 200 x 20	20 36 145	62,25 84,15 403,85
860.051/79	SUB-TOTAL GR.DO CAMINHO CABECEIRA CEARÁ MACAUBA	L-0a-1000 " L-600 a 2000 L-0 a 600	200 x 20 100 x 20 50 x 20	18 88 71	38,00 325,00 269,25
	CEARÁ FELICIDADE MACACO	L-2100 a 2700 L-0 a 1400 L-700 a 1400	50 x 20 50 x 20 50 x 20	247 169 169	1.138,70 683,60 589,85
	SUB-TQTAL			762	3.044,40
					·

TUTAL

QUADRO 1 - (QUANTIFICAÇÃO DOS TRABALHO	OS DE PESQUISA	(CONTINUAÇÃO)		
PROCESSO DNPM	igarapē	TRECHO	MALHA FINAL DE SONDAGEM (m)	NÚMERO DE FUROS	EXTENSÃO TOTAL (m)
860.052/7,9	ARROZ PAULÃO PARAÍBA PORCÃO E AFLUENTES SUB-TOTAL	L-0 a 300 L-200J a 650 L-400S a±100N. L-750 a 1400N	50 x 20 50 x 20 50 x 20 50 x 20	183 321 248 436	535,87 1.730,76 995,42 1.754,00 5.393,10
TOTAL	•			2.233	8.943,00
•				•	

1 1017

╬┸┸┇╏┇╏╏╏╏╏╏╏╏╏┞╏┞╏<mark>┇┇┇┇┇</mark>┇┇

certos casos por desmonte mecânico —, com capacidade nominal de 17.500 m³/mês.

Os conjuntos de concentração em ambos os casos incluem peneira rotativa, jigues e tanque amalgamador.

Além dos comparativos usuais entre as previsões da pesquisa e os teores recuperados, a execução de lavra experimental com desmonte hidráulico permite observações diretas do pacote mineralizado, e estabelece, consequentemente, per manente confronto com as estimativas feitas após a sondagem. Os resultados obtidos são discutidos adiante.

4.3.7 Sintese dos trabalhos executádos

O Quadro 2 quantifica os trabalhos de pesquisa executados no grupo de áreas objeto deste relatório, e permite avaliar a densidade de informações atingida no decorrer do projeto, com cobertura integral da superfície autorizada.

Os dados são apresentados para os três blocos de áreas que constituem a porção central do domínio pesquisado em Novo Planeta.

QUADRO 2 - QUANTIFICAÇÃO DOS TRABALHOS DE PESQUISA

LOCO	PROCESSO DNPM	MAPEAMENTO GEOLÓGICO		PROSPECÇÃO ALUVIONAR		AMOSTRAGEM DE SOLO		SONDAGEM A TRADO		Poços		Sondagem Aluvionar		
•		1:50.000	1:25.000	1:5.000	SUPERF.	AMOSTBAS	SUPERF.	AMOSTRA	_FUROS	EXTENSÃO	OUANT.	VOLUME	FUROS	EXTENSÃO
A	860.049/79	10km²	10km²		10km²	5	_		1	_	_	`~	36	101,65 m
	860.050/79	. 10km²	10km²	-	10km²	و ِ	→		· · -	_	_	-	145	403.85 m
•	860.051/79	10km²	10km²	0,6km²	10km²	11	0,6km²	51	23 .	81,00 m	_	,'	762	3.044,40 m
	860.052/79	10km²	10km²	6,0km²	10km²	.8	6,0km²	352	192	752,60 m	5	14,60 m³	ļ	5.393,10 m
	SOMA A	40km²	40km² ′	6,6km²	40km²	33	6,6km²	403	215	833,60 m	5	14,60 m ³	· ·	8.943,00 m
В	860.053/79	10km²	10km²	5,4km²	10km²	8	5,4km²	304	191	882,40 m	3	12,30 m ³	1233	5.331,68 m
	860.054/79	10km²	10km² ·	_	10km²	8	_	-	· _		_	_	348	1.373,60 m
	860.067/79	10km²	10km²	_	10km²	12		-		_	_	_	200-	649,11 m
	SOMA B	30km²	30km²	5,4km²	30km²	28	5,4km²	304	191	882,40 m	3	12,30 m³	1781	8.354,39 m
С	860.981/79	. 10km²	10km²		10km²	8		-	_	_			59	340,00 in
İ	861.091/79	10km²	10km²	_	10km².	5	_	-	_		_	·	. 86	369,25 m
	861.092/79	10km²	10km²	-	10km² ·	11	·		_	<u>.</u>		- -	357	1.152,70 m
	861.093/79	10km²	10km²	-	10km²	7	_	-	-	-		_	328	938,36 m
	SOMA C	40km²	40km²		40km²	31	. <u>-</u>	-	-	_	-	-	· 830	2.800,81 m
TAL		110km²	110km²	12 km²	110km²	92	12km²	707	406	1776,00 m	8	26,90 m³	4.844	20.098,20 m

5. GEOLOGIA DAS ÁREAS DE PESQUISA

As informações aqui relatadas provém dos levantamentos básicos executados no conjunto de áreas de Novo Planeta, objetivando avaliar com segurança seu potencial econômico e compreender os controles da mineralização.

Os dados obtidos enquadram-se no empilhamento estratigráfico proposto por SILVA et al.(1980), alterando contudo, de forma significativa, a delimitação das unidades mapeadas. O resultado é apresentado no Mapa Geológico em escala 1:25.000 (Anexo 3), compreendendo as áreas em apreço e região envolvente.

Discutem-se a seguir os traços geológicos do espaço pesquisado, como base para avaliação de seus aspectos econômicos. O mapa de detalhe apresentado no Anexo 4 fornece subsidios adicionais a essa caracterização.

5.1 - Estratigrafia e Petrografia

O quadro provincial é dominado por rochas graníticas do Complexo Xingu, representantes do embasamento arqueano, em parte recoberto por vulcânicas ácidas a intermediárias da Formação Iriri. Ambos os conjuntos alojam corpos graníticos vinculados ao evento Teles Pires, caracterizados por significativa presença de xenólitos.

As áreas pesquisadas situam-se na borda sul do corpo granítico denominado Sete Quedas, que apresenta contorno elíptico e dimensões em torno de 35 x 10 Km, com eixo maior orientado aproximadamente segundo E - W. Faz contato ao sul com rochas do embasamento, sendo os efeitos termais em parte mascarados por feições superimpostas de cisalhamento. Ao norte das áreas, está em contato direto com o pacote vulcânico.

Todas essas unidades são cortadas por diques de diabásio, preferencialmente orientados segundo NW-SE. Fi nalmente desenvolvem-se aluviões recentes nas calhas da rede de drenagem, caracterizando-se por sedimentos argilosos imaturos, com areias e cascalhos finos pouco espessos.

5.1.1 - Complexo Xingu

Predominam na unidade basal os termos granticos leucocráticos acinzentados, com textura inequigranular média a grosseira e subordinadamente fina ou pegmatóide. As variações de granulometria são frequentes, bem como concentrações localizadas de minerais máficos.

A rocha dominante é constituída por felds pato potássico, plagioclásio, quartzo e por vezes biotita, com pórfiros centimétricos retangulares de feldspato, imersos em matriz granitica sem orientação aparente.

Próximo à borda do corpo Sete Quedas aflo ra biotita-granito médio, inequigranular, de coloração cinza-rósea. É composto por feldspato, quartzo azulado e biotita parcialmente cloritizada, evidenciando ação diaftorética relacionada à intrusão.

Veios centimétricos de microgranito, assim como apófises de rochas graníticas Teles Pires ocorrem nessa zona externa de contato. Observam-se ainda, encaixados no complexo, di ques de diabásio e um dique de riodacito pórfiro (margeado por diabásios).

O contato entre o conjunto basal e o grani to intrusivo, quando não encoberto, se faz por simples passagem de um litotipo a outro ou, em certos casos, apresenta feições de intenso cisalhamento. Os efeitos termais são assim mascarados pelo desenvolvimento de orientação de fluxo cataclástico, com marcante xistosidade mergulhante para sul.

Ainda no âmbito do embasamento ocorrem por vezes xenólitos de composição variada, indicativos de atividade in trusiva moderada nessas rochas, em resposta a processo de refusão da crosta arqueana.

5.1.2 - Formação Triri

O pacote vulcânico é composto predominantemente por riolitos e quartzo-porfiros, com ocorrência subordinada de dacitos e riodacitos. Ocorrem, nas áreas mapeadas, em área
circunscrita preservada sobre o embasamento, no alto curso do ig.
Pinta no Leito.

Ao norte, o conjunto vulcânico encontrase em contato com o granito intrusivo, constatando-se passagem gradacional entre este e os termos riolíticos encaixantes.

Ocorrem ainda nessa região granófiros de coloração castanho-avermelhada, de matriz granular fina e pórfiros subdiomórficos de feldspato, sem orientação preferencial.Constituem rochas de características sub-vulcânicas, interpretadas co mo representantes de cúpula de pluton granítico sub-aflorante, as sociado a restos de teto constituídos por vulcânicas. Estão expostos em janelas erosivas, em meio aos termos extrusivos, e caracterízam ambiente de transição entre as rochas vulcânicas eplu tônicas do Grupo Uatumã.

Da mesma forma, o dique de riodacito pór firo encaixado no Complexo Xingu é interpretado como um conduto de extrusão das lavas Uatumã, seccionado ao norte pelo granito Sete Quedas. É constituído por rocha cinzenta, com cristais retangulares de feldspato dispersos em matriz afanítica, ora com marcante orientação das lamelas de biotita. Tem direção geral em torno de N55W, e está sublinhado por diques posteriores de diabásio.

5.1.3 - Granito Teles Pines

O corpo Sete Quedas, de natureza sub-vul cânica, ê constituido por granitos porfiríticos de matriz faneri tica mêdia, com termos de matriz fina ocorrendo próximos à zona de borda.

Predomina biotita-granito médio, de colo ração roseo-acinzentada, com porfiros sub-idiomórficos de felds-pato. Apresenta xenólitos variados de rochas termicamente transformadas, incluindo espécimes derivados do Complexo Xingu, de vul cânicas ácidas e intermédiárias da Formação Iriri, e de rochas ultramáficas (piroxenito ou hornblendito) de caráter alóctone.

Esses xenólitos, de tamanhos diversos e caracteristicamente angulosos, conferem à massa intrusiva aspecto brechoide (textura panetônica). Indicam, por sua forma, marcante diferença de viscosidade entre as duas fases, e sugerem magma originado do manto e/ou crosta inferior, conforme interpretação anterior de DALL'AGNOLL (1982, in JARDIM de SA, 1983).

As rochas graníticas são absolutamente iso

trôpicas — à exceção das feições posteriores de cataclasamento constatadas na borda sul do corpo —, indicando intrusão passiva sob condições de superaquecimento, em encaixante fria, e cristalização lenta em ambiente anorogênico (JARDIM de SÁ, op.cit.).

5.1.4 - Diabāsio Cururu

Os diques de diabásio ocorrem com maior frequência na área de contato do granito Sete Quedas com o Comple xo Xingu. São rochas homogêneas, de granulação fina, e dispõem-se preferencialmente em torno de N40E a N50E.

Ocupam zonas de fraqueza ao menos em parte reativadas, como é o caso do dique de riodacito margeado por corpos básicos paralelos, ao sul do acampamento central de Novo Planeta.

5.1.5 - Aluviões recentes

Os aluviões recentes ocupam extensões con sideráveis nas calhas das principais drenagens e tributários, constituindo em geral depósitos de pequeno a médio porte. No conjunto de áreas — situado no alto curso dos igarapés Sete Quedas e Pinta no Leito, afluentes do rio Apiacás —, ganham destaque as drenagens menores, com depósitos de pequeno porte a micro-depósitos nas drenagens de última ordem.

São formados por cascalhos finos, areias e principalmente argilas, na ordem natural de deposição. Caracterizam-se por sedimentação imatura, com mau selecionamento e grãos em geral angulosos ou pouco arredondados.

A coloração varia desde cinzenta a marromavermelhada nas partes mais argilosas, até tonalidades mais claras nas porções arenosas. Apresentam com frequência feições de later<u>i</u> zação, por vezes com desenvolvimento de concreções ferruginosas no horizonte argiloso.

Esses depósitos representam, no conjunto de áreas, pláceres auriferos significativos, e foram submetidos a intenso processo de enriquecimento supergênico, conforme detalhado adiante.

5.2 - Aspectos estruturais e evolução tectônica

Observa-se, em escala regional, marcante estruturação segundo E - W, conforme evidenciado pelo contorno do granito Sete Quedas e, ao norte, pelo lineamento São João da Barra - Teles Pires, que condiciona o alinhamento da serra dos Apiacas e representa o limite sul do graben do Cachimbo.

Admite-se que essas extensas zonas de fra queza tectônica representam na verdade segmentos de suturas crus tais antigas, responsáveis pela origem e posicionamento dos corpos intrusivos Teles Pires, e pelo enquadramento tectônico dos sedimentos Beneficente. Sua reativação posterior estaria relacionada à própria estruturação da sinéclise do Amazonas, vincula da à ação de falhas transformantes da cadeia meso-atlântica.

A esse sistema gerador E-W estariam associadas fraturas dispostas em torno de NW-SE, encaixantes do dique de riodacito e dos diques básicos posteriores. Condicionam ex pressivo aluvionamento com mineralizações auriferas nas áreas pesquisadas, e estão aparentemente associadas a um sistema secundário NE-SW.

Provavelmente representam juntas de extensão daquela direção principal de tracionamento, cuja manifestação tardia teria sido a reativação cisalhante na borda sul do granito Sete Quedas.

Direções secundárias em torno de NOSE, com binadas aos outros sistemas de fraturamento, resultam, no domínio das vulcânicas, em padrão sub-ortogonal, sugerindo origem relacio nada a juntas de resfriamento.

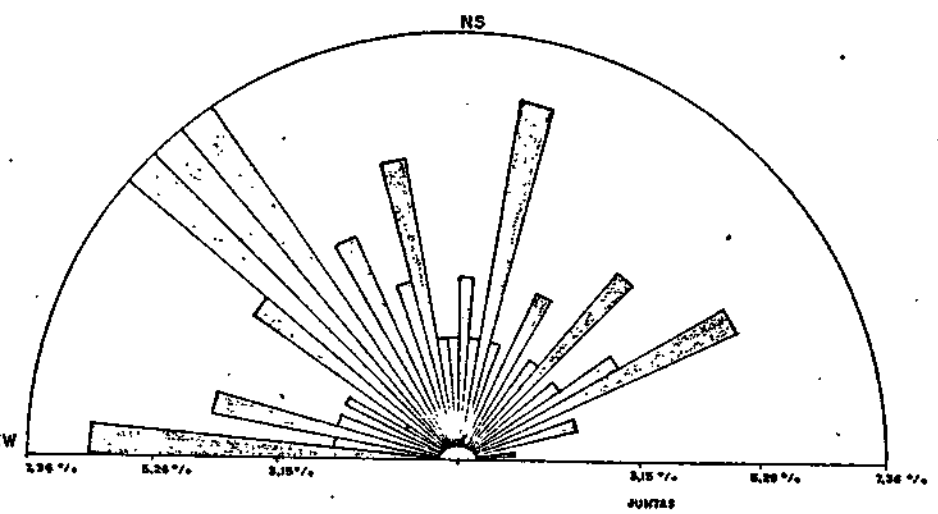
Os diagramas de setor apresentados na Fig. 3 permitem visualizar a disposição desses sistemas.

5.3 - Potencial metalogenético

Os estudos realizados demonstram que o gra nito Sete Quedas — representante nas áreas de pesquisa do plutonismo Teles Pires — teve evolução magmática caracterizada por especialização discreta, e consequente ausência de fases tardias.

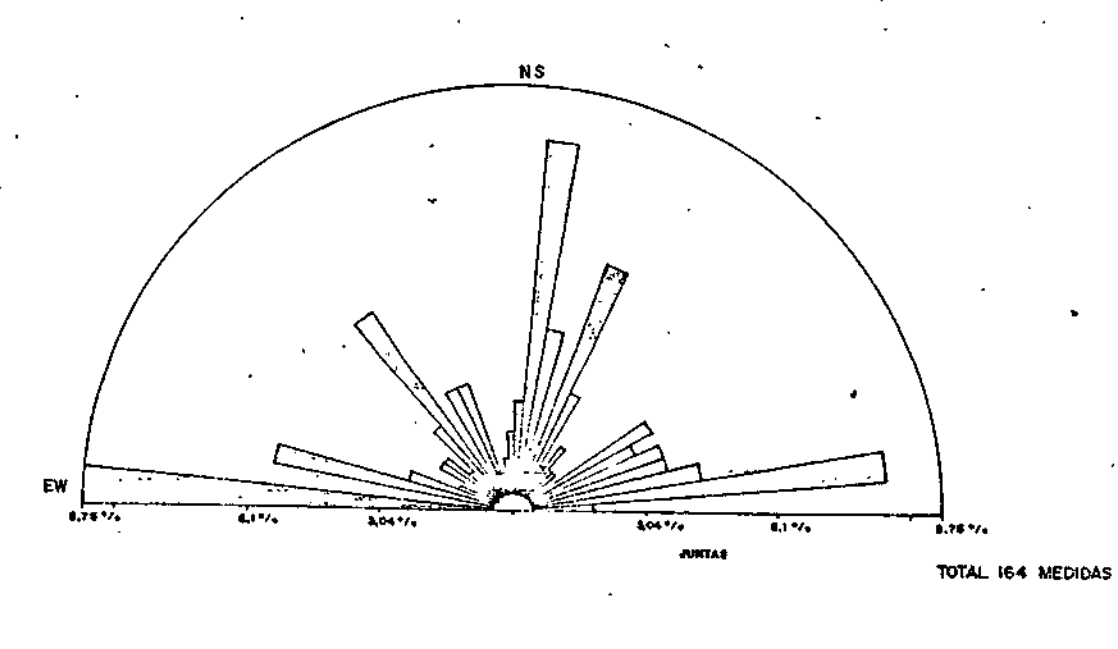
Não se observa por exemplo a existência de

GRANITOS TELES PIRES



TOTAL 95 MEDIDAS

VULCÂNICAS IRIRI



pegmatitos, greisens, etc — ou seja, estão ausentes as fases finais de acumulação de volâteis, ãs quais costumam associar-se mineralizações diversas : Sn, Nb, Ta, W,Mo, Li, F, Terras Raras e outros.

Consequentemente, apenas a mineralização de Au parece guardar algum vínculo com a intrusão, à medida em que se verifica, próximo à borda sul do corpo, significativa con centração de valores no ambiente secundário.

Não há registro de silicificação pronunciada, ou outro tipo de alteração (sericitização, albitização, carbonatização, etc) que pudesse ter condicionado a mineralização.

Assim, perde significado a hipótese do granito ter atuado como agente de alteração, ou de remobilização expressíva, a partir de conteúdo aurifero eventualmente disseminado no pacote vulcânico, ou mesmo no embasamento arqueano. Em verdade, suas feições petrográficas e estruturais indicam geração a partir de magma relativamente viscoso, ou seja, desprovido de água (JARDIM de SÃ, op. c(t).

É improvável também que as rochas encaixantes, virtualmente secas, tenham fornecido os fluidos necessários ao processo de remobilização, limitando portanto sua importância como fator de mineralização.

Entretanto, é possível atribuir à faixa de cisalhamento observada na borda sul do corpo um papel determinante para reconcentração, ainda que moderada, do Au contido nas rochas afetadas pelo metamorfismo dinâmico. Nesse caso, o própio pluton parece ter sido uma fonte importante, considerando-se a hipótese de assimilação, pelo magma granítico, de Au presente em rochas do manto e/ou crosta inferior, incorporadas durante sua formação e ascensão.

Discute-se adiante o condicionamento geológico das mineralizações auriferas e a possibilidade de existência de corpos primários no contexto pesquisado, bem como a importância dos processos supergênicos na redistríbuição do Au.

5.4 - Geologia dos jazimentos auríferos

5.4.1 - Mineralizações primārias

O detalhamento geológico efetuado em áreas prioritárias — cujos resultados, apresentados no Anexo 4, podem ser estendidos às áreas vizinhas —, indicam pequena possibilidade de existência de corpos primários significativos.

Tal afirmativa resulta de dois pontos principals: em primeiro lugar, inexistência de manifestações magmáticas tardias, na forma de alterações hidrotermais ou veios de quartzo expressivos. Por outro lado, a zona de cisalhamento que sublinha a borda sul do granito Sete Quedas, embora notável pelas modificações texturais geradas, é descontínua e não evidencia remobilização marcante da sílica, capaz de resultar em corpos de vulto.

Apesar da busca exaustiva, apenas em um local — na cabeceira do igarapé Marabá, próximo ao acampamento central — foi constatada a presença de ouro em veio de quartzo compirita, mas com pequena possança e pouca expressivade.

5.4.2 - Placeres aurificros

Os depósitos aluvionares enquadrados pelo conjunto de áreas constituem expressivos jazimentos auríferos, des tacando-se pelo volume total mineralizado, magnitude e continuida de de teores, bem como pela granulometria do ouro presente.

Representam em sua maioria aluviões de pe queno porte, instalados nas calhas da rede de drenagem de 4ª e 5ª ordens. Têm (lat variável entre 60 e 100m, com 4 a 5 m de espessura.

Estratigraficamente apresentam, na base, camada delgada por vezes descontínua de cascalhos fixos, compostos por fragmentos angulosos de quartzo, e abundante matriz areno-argilosa. A porção intermediária, caracterizada por areias finas a grossas com argilas, ê recoberta por camada argilosa no topo (vide Figura 4).

No estado natural, as drenagens apresentam águas escuras, indicativas de concentração elevada de ácidos

húmicos, produzidos pela degradação da matéria vegetal. Os depósitos apresentam-se laterizados em grau variável, às vezes com ocorrência de concreções limoníticas em todo o perfil, e coloração ferruginosa típica.

O ouro, da mesma forma, pode estar presente em toda a coluna, com natural tendência de concentração no horizonte basal.

Conforme mencionado anteriormente, não há, no contexto geológico estudado, feições indicadoras de fontes primárias significativas. Interroga-se assim a origem do ouro presente nesses pláceres, sobretudo na região entre os igarapês Ceará e Pinta no Leito, que drenam a borda sul do granito Sete Quedas.

Parte do ouro certamente tem origem puramente detrítica, a partir da desagregação de veios de quartzo mineralizados. Embora de dimensões restritas — e o volume reduzi do de cascalho nos aluviões reflete isso —, os veios podem ocor rer com certa frequência nessa região de contato intrusivo/cisalhamento, e naturalmente forneceram algum ouro aos pláceres.

Entretanto, grande parte desse conteúdo sem dúvida resulta de concentração supergênica, a partir de litologias originalmente portadoras de ouro fino a ultrafino associado a sulfetos — rochas arqueanas, rochas vulcânicas e sobretudo o granito intrusivo, localmente afetado por cisalhamento.

Assim, o intemperismo acentuado em regime de laterização conduziria à liberação das partículas de ouro,
migração no ambiente secundário, e redeposição, na forma de aglomerados mais grosseiros. A atuação contínua do processo resultaria no enriquecimento progressivo dos depósitos.

Nas areas de Novo Planeta foram encontradas pepitas com até 22,0 g, e é frequente, nos aluviões, a ocorrência de ouro envolvendo grãos detriticos de quartzo e ilmenita, ou intercrescido com limonita. Ademais, é notória a presença de ouro mais grosseiro nos trechos em que o aluvião apresenta-se mais laterizado, em associação com cangas limoníticas pisolíticas.

A pureza do ouro bruto --- 92% de Au, 5%

de Ag e 3% de metais diversos —, também decorre desse processo supergênico, na medida em que, por sua menor mobilidade química, o elemento tende a concentrar-se residualmente nos grãos submetidos a dissolução contínua, com lixiviação da prata e outros metais mais leves (MANN, 1984).

BOYLE (1979) destaca que, nos pláceres modernos, o ouro se concentra em níveis econômicos por ação conjunta de processos químicos (acresção) e físicos (gravimétricos), durante o intemperismo e subsequente sedimentação, o que corresponde às interpretações feitas na área. Diversos processos resultam na mobilização química do ouro — particularmente a formação de complexos orgânicos e/ou colóides, por ação de ácidos húmicos —, permitindo assim sua reconcentração com aumento do grau de pureza e da granulometria, e explicando sua presença ao longo de todo o perfil do aluvião.

Nesse sentido, as evidências constatadas em Novo Planeta são bastante consistentes, do ponto de vista geo lógico e metalogenético, e estimulam a realização de estudos científicos para aprofundamento de questão. Embora de reconhecida im portância, o tema é pouco abordado na literatura a nível mundial, e certamente resultará em contribuição significativa à metodologia exploratória adotada para o ouro na Amazônia.

Com efeito, a remobilização do ouro em am biente laterítico mascara as feições originais do depósito e, con sequentemente, dificulta ou impossibilita a busca de fontes primárias baseada estritamente nos métodos convencionais de concentração gravimétrica.

O enriquecimento supergênico, por outro lado, pode resultar em pláceres econômicos mesmo em áreas despro vidas de fontes primárias significativas — como parece ser o caso de Novo Planeta —, exigindo assim um tratamento à altura de sua importância econômica.

6. DISCUSSÃO DOS RESULTADOS OBTIDOS

Conforme exposto anteriormente, a aplica ção exaustiva de diversas técnicas de pesquisa no dominio dos al varás resultou na avaliação segura do seu potencial econômico, com definição de expressivas reservas de aluvião aurifero.

A sistemática de trabalho implantada — compreendendo etapas sequenciais de detalhamento progressivo — permitiu, por outro lado, contínuo aprimoramento dos procedimentos adotados, com melhoria da eficiência operacional e da confiabilidade dos resultados.

Apresentam-se a seguir os resultados obtidos em cada etapa do Projeto — levantamentos básicos, detalhamento de alvos, quantificação de reservas e lavra experimental—, com destaque para os critérios de avaliação dos dados, e seu significado, com vistas ao aproveitamento econômico das reservas bloqueadas.

6.1 - Alvos selecionados

O confronto dos resultados obtidos para ouro na prospecção aluvionar (vide Anexo 5), com o quadro geológico anteriormente apresentado, permite a visualização imediata do grau de concentração de valores e da potencialidade das áreas em questão.

O tratamento estatístico dos resultados indicou os seguintes parâmetros geoquímicos:

- background: 0 a 10 pintas 4
 anomalia 37 ordem: 11 a 40 pintas 4
 anomalia 27 ordem: 41 a 100 pintas .4.
- anomalia 10 ordem: maior que 100 pintas 4

Definiram-se portanto expressivas anomalias em todo o espaço pesquisado, com valores consistentes, contínuos, e frequentemente acima do limiar de 100 pintas de ouro em amostras de 10 litros de sedimento ativo.

Apenas alguns tributários dos igarapés Pinta no Leito e Sete Quedas, bem como certos trechos desses cole tores, mostram resultados negativos ou pouco expressivos, em par te resultantes de intensa atividade garimpeira, com descaracter<u>i</u> zação do leito da drenagem.

De qualquer forma, os resultados obtidos permitiram enquadrar toda a superfície delimitada pelos alvarás em questão como alvo prioritário para investigação — visando sobretudo a definição de reservas aluvionares e, em segunda instância, depósitos elúvio-coluvionares e mineralizações primárias de ouro e associados.

Entretanto, a varredura espectroquímica efetuada para 30 elementos, e a inspeção sistemática dos concentrados, não confirmaram essa expectativa de outras substâncias de interesse (vide boletins CPRM no Anexo 10). Apenas o ouro apresentou resultados promissores.

Após a amostragem inicial,os trechos ano malos foram sistematicamente detalhados para confirmação de teores no sedimento ativo, e avaliação preliminar do potencial do aluvião.

Nas áreas promissoras — incluindo aque las comprovadamente mineralizadas, porém com resultados comprometidos pela descaracterização do sedimento ativo, como o igarapé Pinta no Leito —, foi executada sondagem exploratória, em malha aberta, para inspeção de teores no pacote estável. Foram in vestigados, dessa forma, todos os depósitos com indicações consistentes de mineralização e potencial volumétrico.

A sondagem exploratória no conjunto de áreas compreendeu os seguintes igarapés: Paraíba, Marabá, Arroz, Davon, Ceará, Gameleira, Pinta no Leito, Clareira, Baiano Preto, Fofoca Velha, Palmeira, Pinta no Leito Garimpeiro, Macaco, Felicidade, Sapo, Mandinga, Macauba, Porcão, Paulão, Mutum, Onça, Pau Mole, Jaguatirica, Marimbondo e Grota do Caminho — além de pequenos tributários sem denominação particular, incorporados à drenagem principal.

Os resultados demonstraram, em primeiro lugar, boa correspondência qualitativa com as indicações obtidas na prospecção, o que comprova a adequação da metodologia utilizada na pesquisa. De fato, todos esses depósitos revelaram-se

mineralizados — integralmente ou em parte —, justificando o adensamento da sondagem para quantificação de reservas, conforme apresentado adiante.

A busca de depósitos elúvio-coluvionares e eventuais corpos primários, intensificada no entorno do acampa mento cental, não trouxe resultados animadores. Essa área englo ba os principais aluviões mineralizados em Novo Planeta e permite, por suas características geológicas, estender às áreas vizinhas os parâmetros aí estabelecidos.

A sondagem a trado, inicialmente destina da apenas à verificação das anomalias superficiais, estendeu-se posteriormente à toda a malha de amostragem. Os resultados obtidos para os 239 furos apresentaram de teor médio de 60 mgAu/m³, com desvio-padrão de 68 e picos de até 1243 mgAu/m³— o que indica va certa perspectiva de definição de reservas, embora com descon tinuidades.

Entretanto, os poços abertos para melhor caracterização do depósito revelaram grande variabilidade de teores, confirmando alguns valores expressivos, porém com distribuição errática.

Como visto anteriormente, a mineralização aurifera está fortemente condicionada a enriquecimento super gênico em ambiente lateritico, incluindo migração para o pacote aluvionar e prosseguimento do processo em meio aquoso.

A evolução geológica certamente não permitiu, nos elúvios e colúvios, que se atingisse o nível de maturação do processo de enriquecimento constatado nos aluviões, impedindo assim o desenvolvimento de concentrações expressivas. Apenas alguns trechos em meia-encosta (prolúvios) revelaram teores mais homogêneos, tendo sido incorporados a reservas aluvionares adjacentes, com as quais se interdigitam.

As indicações para mineralizações primárias nessas áreas igualmente revelaram-se pouco favoráveis, conforme discutido anteriormente.

Desta forma, o programa de pesquisa executado em Novo Planeta — apesar da concepção abrangente e da alta densidade de informações — alcançou êxito apenas no blo queio de reservas aluvionares de ouro. Os resultados finais são discutidos a seguir.

6.2 - Quantificação de reservas:

6.2.1 Procedimentos e critérios de calculo

A avaliação de reservas aluvionares em Novo Planeta seguiu dois procedimentos de cálculo, abaixo sumarizados:

— metodo dos cartogramas de isolinhas e de blocos de cubagem, adotado nos trechos sondados em malha regular 50 x 20.

— método AIS (área de influência da se ção), ou método das seções transversais, adotado nos trechos son dados em malhas mais abertas, ou com reservas descontínuas.

No primeiro caso, são elaborados, sobre a malha de sondagem, os cartogramas de isoteores e isópacas, a partir da interpolação dos atributos determinados em cada furo - respectivamente, teor e profundidade (vide Anexo 8).

A seguir, a área é enquadrada em uma rede de blocos regulares de 20 x 20m, anotando-se, para cada bloco, os valores médios de teor e profundidade correspondentes, obtidos por leitura direta das isolinhas nele contidas.

Os valores respectivos de volume e conteúdo metálico são obtidos pela simples multiplicação da profundidade pela superfície do bloco, e em seguida pelo teor. Os resultados são totalizados somando-se os valores dos blocos contidos na área de interesse.

O cartograma de blocos, obtido com base na variação linear dos atributos, permite transformá-los em variáveis discretas — fundamento da estimação por Krigagem —, facilitando a tabulação de reservas discriminadas por classe de teor.

As planilhas resultantes apresentam a reserva total, correspondente à reserva patrimonial bloqueada, e

as diversas opções de lavra em função dos teores de corte e teores médios desejados, a uma determinada escala de produção.

No método ATS, o depósito é subdividido em sub-blocos irregulares, correspondentes às seções transversais de sondagem. Calcula-se inicialmente a profundidade média e o teor médio de cada linha, utilizando como fatores de ponderação as profundidades dos furos nela incluidos, com teor acima de 20 mg Au/m³.

A área de influência da seção — determinada pela semi-distância entre as linhas adjacentes — é então multiplicada pela profundidade média, fornecendo o volume. O conteúdo metálico correspondente é o produto deste pelo teor médio.

A reserva do depósito é obtida pelo soma tório dos blocos. Esse método clássico, baseado exclusivamente em princípios geométricos, permite avaliar com segurança a reserva global existente. A implantação da lavra naturalmente exige odetalhamento da sondagem para desenvolvimento da jazida, obtido com a elaboração dos cartogramas de cubagem.

ralizados — investigados inicialmente em malha exploratória — foram implantados programas de avaliação com malhas 200 x 20 , 100 x 20 e 50 x 20m, à exceção do igarapé Pinta no Leito, com malha final 800 x 20m. Mesmo neste caso, o limite de inferência de reservas a montante e a juzante das seções foi de 100m, em razão das descontinuídades constatadas na mineralização.

Destaca-se neste ponto que a confiabilidade atingida nos cálculos de avaliação em Novo Planeta resultou,
em primeiro lugar, da elevada densidade final obtida na sondagem,
perfeitamente adequada às características da mineralização e ao·
nível de conhecimento pretendido.

Discriminam-se adiante os diferentes tipos de reservas, em função da malha de sondagem e da metodologia
de cálculo:

TIPO DE RESERVA	MALHA DE SONDAGEM	MÉTODO DE CALCULO
MEDIDA	50 x 20m	CARTOGRAMAS/AIS
INDICADA	100 x 20m	AIŞ ·
INFERIDA	$200 \times 20m$	AIS

6.2.2 Reservas bloqueadas

Os trabalhos realizados conduziram à con signação de reservas medidas, indicadas e inferidas em aluvião au rífero, em parte já detalhadas e desenvolvidas para lavra. Além disso, não evidenciaram a existência de outros ambientes e/ou possibilidades de mineralização no espaço pesquisado.

O Quadro 3 totaliza os montantes bloquea dos por processo DNPM e tipo de reservas, ressaltando a magnitude dos jazimentos existentes.

Esses valores constituem a posição conso lidada atual nessas áreas. Conforme visto, representam o estágio final de inúmeros programas de reavaliação, necessários em função de repetidas invasões garimpeiras. Não é possível estimar com segurança o total lavrado e os valores extraídos nessas invasões, bem como avaliar seu significado na predação das jazidas aqui apresentadas.

Sabe-se, entretanto, que a alta escala de produção garimpeira — propiciada pela mecanização intensa — resultou, em certos caso, na completa desfiguração das reservas então existentes, com mutilação de trechos ricos e significativa retirada do ouro mais grosseiro.

Um exemplo ilustra essa afirmação :o iga rapé Marabá, próximo ao acampamento central, foi sondado ao final de 1983 com resultados bastante expressivos. Logo após o término da campanha, ao final de novembro, ocorreu invasão de um trecho com aproximadamente 250.000 m³ de minério e teor médio acima de 500 mg/u/m³. Houve utilização intensiva pelos garimpeiros de equipamentos de desmonte hidráulico e bombeamento, com concentração do minério em calhas (sluíces) rudimentares.

Apos a retirada dos garimpeiros, em maio de 1984, a área foi sondada novamente, e a nova avaliação indi-

QUADRO 3 - SÍNTES	E DAS RESERVA	S BLOQUEADAS		
PROCESSO DNPM	RESERVA	VOLUME	CONTEÚDO	TEOR
	•	(m³)	METÁLICO	MÉDIO
`		· [(gAu)	(mgAu/m³)
860.049/79	MEDIDA	- .	. -	
	INDICADA	153.343	10.479	68
	INFERIDA	74.207	9.769	132
	TOTAL	227,550	20.248	89
860.050/79	MEDIDA	30,521	1.521	50
	INDICADA	49,113	2,292	47
	INFERIDA	1.497.471	125.441	84 /
	TOTAL	1.577.105	129.254	82
860 051/79 4	MEDIDA	1.435.569	229.519	160
860.051/79		918.044	101.472	111
	INDICADA INFERIDA	244.761	33.067	135
		2.598.374	364.058	140
	TOTAL,	2.590.514	304.030	130
860.052/79	MEDIDA	1.054.476	299.088	284
	INDICADA	1.161.829	112.478	97
	INFERIDA	_	_	-
	TOTAL	2.216.305	411.566	186
SOMA	MEDIDA	2.520.586	530.128	210
SOM	INDICADA	2.282.329	.226.721	99
	INFERIDA	1.816.439	168.277	93
	TOTAL'	6.619.334	925.126	140
	,			

cou decréscimo no conteúdo metálico da ordem de 30% — diferença marcante se considerado o pequeno prazo decorrido, em torno de seis meses.

O Quadro 4 relaciona as reservas quantificadas por igarapé, assinalando em cada caso o tipo de reserva e o método de avaliação utilizado. As planilhas de cálculo são apresentadas em apêndice.

6.3 - Lavra experimental

O Mapa de Distribuição dos Trabalhos de Pesquisa apresentado no Anexo 2 localiza, no conjunto de alvarás, os jazimentos submetidos a lavra experimental. Constituem fração representativa das reservas bloqueadas e permitem, consequentemente, extrapolar para as áreas vizinhas o conhecimento técnico consolidado no decorrer dos trabalhos.

A lavra experimental adquiriu relevância a partir de 1984 — conforme histórico apresentado — com utilização comparativa de diversos métodos e equipamentos, atuando em jazidas de diferentes portes e grandeza de teores. Foi implantada, com resultados bastante positivos, nos seguintes igarapés: Davon, Arroz, Paulão, Paraíba, Pau Mole, Marabá e Mutum.

Registra-se abaixo a quantidade produzida de 1981 a 1985, conforme consta dos Relatórios Anuais de Lavra referentes aos processos DNPM nos 860.052/79 e 860.053/79,
complementada com os dados de janeiro a julho de 1985:

MINÉRIO LAVRADO	1981	1982	1983	1984	1985	TOTAL
VOLUME (m³)	141.559	222.520	215.399	955.296	951.398	2.486.172
CONTEÚDO (gAu)	76.171	196.528	90.963	418.634	357.517	1.139.813
TEOR (gAu/m³)	0,538	0,883	0,422	0,438	0,376	0,458
	,	. !				

O acompanhamento criterioso da lavra ex perimental resultou em significativa geração de dados para aferição da qualidade da pesquisa, fornecendo elementos valiosos para os ajustes técnicos e metodológicos necessários. Embora as previsões da pesquisa e os resultados da lavra tenham apresentado isoladamente algumas discrepâncias, por vezes acentuadas — o que não chega a surpreender, no caso do ouro — os resultados

		I			i i		
PROCESSO DNPM	IGARAPĒ	TRECHO	VOLUME	CONTEÚDO	TEOR	TIPO DE	MÉTODO DI
PROCESSO BILL			(m ³)	METÁLICO	MÉDIO	RESERVA	CALCULO
	•			(gAu)	(mgAu/m³)		
860.049/79	CLAREIRA		74.207	9.769	132	INFERIDA	AIS
,	PINTA NO LEITO	£2200-2800	153.343	10.479	68	INDICADA	AIS
	SUB-TOTAL		227.550	20.248	− ₹ 89		
860.050/79	PINTA NO LEITO	L400-1200	552.837	54.554	(98)	INFERIDA	AIS
		L1600	30.521	1.521	60)	MEDIDA	AIS
	P.LEITO GARIMP.	L400-2800	719.823	59.240	9023	INFERIDA	AIS
	FOFOCA VELHA	L200-400	74.656	2.676		ÍNFERIDA	AIS
_		F00	49.113	2.292	(47) (60)	INDICADA	AIS
·	PALMEIRA	L00-1200	150.155	8,971	(60) -	INFERIDA	AIS
	SUB-TOTAL			129.254	82		
860.051/79	GR.DO GAMINHO	L00-1000	57.891	6,232	108	INFERIDA	AIS
	CABECEIRA CEARÁ	L600-2000	558.138	76.745	138	INDICADA	AIS
	масайва	L00-600	273.755	25,886	95	MEDIDA	AIS
	CEARÁ	L2100-2700	501.168	109.475	247	MEDIDA	AIS
	FELICIDADE	L1000-1400	186.870	26.835	144	INFERIDA	AIS
		L00-200/800	188.847	14.187	75	INDICADA	AIS
·		L125J-50J/	374.560	56.240	150	MEDIDA	AIS
	4.	300-800		•			
	MACACO ·	L700-1000	171.059	10.540	62	INDICADA	AIS
		L1400	286.086	37,918	133	.MEDIDA	AIS
	SUB-TOTAL		2.598.374	364.058	£ 140	}	

· And Revision - Anna Constitution of the Cons

QUADRO 4 - QUANTIFICAÇÃO DE RESERVAS ALUVIONARES (CONTINUAÇÃO)

PROCESSO DNPM	30.3.	TRECHO	VOLUME (m³)	CONTEÛDO METÁLICO (gAu) 37.717	TEOR MÉDIO (mgAu/m³)	TIPO DE RESERVA MEDIDA	MÉTODO DE CÁLCULO CARTOGRAM
860.052/79	PAULÃO PARAÍBA PORCÃO E AFLUENTES	L00-300 L200J-650 L400S-100N L350N-1400N E L 1200 L750-1100/ L1300-2200	334.712 231.951 320.973 58.934 1.102.895	81.124 46.371 133.876 6.232 106.246	242 200 417 106 145	MEDIDA MEDIDA MEDIDA INDICADA MEDIDA	AIS CARTOGRAMI CARTOGRAMI AIS AIS
TOTAL	SUB-TOTAL		2.216.305 6.619.334	925.126	# 186 140		

finais foram bastante coincidentes.

Os indices comparativos pesquisa x laura computados para todas as frentes experimentais em 1985 — janei ro a julho — demonstram excelente correspondência de valores. Os desvios constatados — de apenas + 4% para teor médio, - 7% para volume e - 3% para conteúdo metálico —, atestam com clare za o nível de desempenho atingido na pesquisa e lavra experimental em Novo Pleneta. O êxito aí revelado constitui-se sem dúvida em valioso trunfo para o início efetivo das operações da mina.

7. EXEQUIBILIDADE DA LAVRA

Os resultados alcançados pelo Grupo Para napanema em Novo Planeta asseguram plena viabilidade técnica e econômica de aproveitamento das reservas aluvionares bloqueadas.

A exequibilidade da lavra é alicerçada, em primeiro lugar, pela solidez e tradição do Grupo, que congrega as mais experientes e bem sucedidas empresas mineradoras de aluviões amazônicos.

As dimensões das reservas bloqueadas em Novo Planeta — nas áreas em apreço e no conjunto de alvarás vizinhos — permitem por outro lado estabelecer uma escala de produção substantiva, requisito básico para a minimização o de custos, já naturalmente reduzidos em se tratando de aluviões.

Além disso, o estágio atual do empreendimento virtualmente dispensa investimentos adicionais em infraestrutura e equipamentos pesados, em boa parte já amortizados como sucesso obtido na lavra experimental.

O aproveitamento do minério de baixo teor favorecido pelos custos reduzidos e pela existência de trechos ricos adjacentes — poderá se ampliar caso os esforços para melhoria na recuperação do ouro fino revelem êxito, ou na eventualidade de elevação nas cotações do metal.

O teor médio dos trechos já detalhados—
referentes às reservas medidas, em parte já desenvolvidos para
lavra —, assegura seu aproveitamento imediato, segundo análise
preliminar de viabilidade a seguir apresentada.

Observa-se que os jazimentos pesquisados revelaram grande regularidade quanto à situação geológica, dimensões médias e padrão de distribuição da mineralização, constituindo assim um conjunto homogêneo, com boa continuidade física. Requerem portanto um enfoque global, com vistas ao seu aproveitamento econômico.

Para tanto, os processos em referência e as áreas vízinhas — num total de 11.000 hectares autorizados para pesquisa — deverão ser reunidos em Grupamento Mineiro, des

tinado inclusive a evitar a fragmentação dos dados e a multiplicidade de registros em relação à mina.

Neste sentido, o estudo preliminar de viabilidade aquí exposto refere-se ao somatório das reservas discriminadas no Quadro 5, consignadas em três Relatórios Finais de Pesquisa submetidos simultaneamente ao DNPM.

A reserva medida totaliza 6.997.862m³ de minério, com 1.440.659g de Au contido e teor médio de 206mgAu/m²

Conforme visto, este montante corresponde à reserva patrimonial bloqueada. Os parâmetros médios obtidos em Novo Planeta indicam que 95% do Au contido concentram-se em 80% do volume total de minério — para teor de corte de 150 mgAu/m³ —, com sensível diluição para corte a teores mais baixos.

Assim, para efeito de análise preliminar pode-se eleger, como opção de lavra, teor de corte de 150mgAu/m³, definindo-se a seguinte neserva openacional: 5.600.000m³ de miné rio (80% do total demonstrado), com 95% do conteúdo metálico, ou 1.370.000 gAu. O teor médio correspondente é de 245 mgAu/m³.

A viabilidade de seu aproveitamento econômico é analisada com base nos seguintes parâmetros :

- a) Reserva medida operacional (TC = 150 mgAu/m³) : 5.600.000 m³, com 245 mgAu/m³.
- b) Capacidade prevista de lavra : 100.000 m³/mês, ou 1.200.000 m³/ano.
- c) Amortização e investimentos adicionais previstos: US\$ 2.000.000
- d) Custo médio de produção : US\$ 1,95/m3.
- e) Expectativa de preço de venda do ouro : US\$ 10,00/g

Na escala de produção prevista a jazida permitirá cerca de cinco anos de lavra, sem computar as reservas indicadas/inferidas, e as opções de lavra para teores de corte mais baixos. Isso evidencia que as reservas bloqueadas são suficientes — em quantidade e qualidade — para assegurar a efetivação de uma mina em Novo Planeta, em continuidade ao período de operação experimental.

QUADRO 5 - SOMATÓRIO DAS 1	RESERVAS CONSIGNADAS EM NOV	o planeta	<u> </u>		<u></u>
TITULAR	PROCESSOS DNPM	RESERVAS	VOLUME (m³)	CONTEÚDO METÁLICO (gAu)	TEOR MÉDIO (mgAu/m³)
mineração porto estrela s/a	860.049 A 860.052/79	MEDIDA	2.520.566	530.128	210
·		INDICADA	2.282.329	226.721	99
		INFERIDA	1.816.439	168.271	93
	•	TOTAL	6.619.334	` 925.126	140
MINERAÇÃO PORTO ESTRELA S/A	860.053,860.054 E 860.067/79	MEDIDA	4.001.003	844.115	211
	•	MEDIDA	298.958	66:088	221
		INFERIDA	1.251.907	106.238	85
		TOTAL	• 5.551.868	1.016.441	· 183
BITANGA EMP. MINERAÇÃO S/A	860.981,861.091 A 860.093/79	MEDIDA	476.293	. 66.416	139
		INDICADA	1.268.541	151.770	120
		INFERIDA	2.759.879	188.590	68
		TOTAL	4.504.713	406.776	· 90
SOMA :	:	MEDIDA	6.997.862	1.440.659	. 206
		INDICADA	3.849.828	444.579	115
		INFERIDA	5.828.225	463.105	79
· ·		TOTAL	16.675.915	2.348.343	141
	·				
					,
. •.					
		<u>'</u>		<i>!</i>	
				•	

and are to the first state of the state of t

Partindo dos parâmetros acima fixados, a viabilidade do empreendimento minerário pode ser analisada, em primeira instância, utilizando-se uma simplificação do método de nominado "tempo de recuperação de capital" (pay-back period) . Trata-se de um exame instantâneo do empreendimento, com base no tempo necessário para recuperar o capital.

Considere-se que :

- Receita anual : $1.200.000 \times 0.245 \times 10.00 = US$ 2.940.000.00$
- Custo de produção : $1.200.000 \times 1,95 = US$ 2.340.000,00$
- Disponibilidade de pagamento : (renda bruta) :
 - 2.940.000,00 2.340.000,00 = US\$ 600.000,00
- Taxa de retorno de capital : $\frac{600.000,00}{2.000.000,00} = 0,30$

Portanto, as disponibilidades de pagamen to representam, em um ano, 30% do capital aplicado, o que determina seu retorno em pouco mais de três anos (40 meses).

Salientando-se que essa análise se resringe às reservas medidas, demonstra-se uma posição altamente fa
vorável, que não deixa dúvidas quanto à economidade dos depósitos considerados. Embora alguns trechos apresentem individual
mente perspectivas menos promissoras, seu aproveitamento é assegurado pela determinação de lavra conjunta com os trechos mais
ricos, garantindo assim o equilíbrio necessário ao empreendimento e o aproveitamento integral das reservas consignadas.

Ressalta-se finalmente o propósito do Grupo Paranapanema em prosseguir na trajetória de expansão e consolidação — em bases técnicas critériosas — da mineração aluvionar na Amazônia, conforme atestam os diversos empreendimentos já consagrados e o êxito do programa de pesquisa aqui relatado.

A análise apresentada deve ser considera da como preliminar. Concluído o projeto de lavra será possível desenvolver estudos econômico-financeiros mais consistentes, su portados no detalhamento dos custos de produção e faturamento.

CONCLUSÕES

Os trabalhos de pesquisa nas áreas de No vo Planeta resultaram na definição de expressivas reservas em alu viões auriferos, cujo aproveitamento é plenamente assegurado pelo exito alcançado na lavra experimental.

Os resultados permitiram avaliar com segurança os jazimentos existentes, com consignação de reservas aluvionares em toda a extensão dos alvarás e continuidade para as áreas vizinhas, a serem integradas em Grupamento Mineiro.

Verificou-se, por outro lado, a inexistência de outros bens minerais associados, bem como a pequena pos sibilidade de ocorrência de concentrações auriferas fora do dominio dos aluviões.

Ao nível de conhecimento atual — resultado do amadurecimento técnico atingido no decorrer do Projeto —, merecem destaque os seguintes aspectos:

a) O ouro presente nos depósitos aluvionares resulta de processos contínuos de desagregação/dissolução ,
transporte químico/mecânico, deposição/precipitação, remobilização e aglutinação — em ambiente laterítico — , a partir de dis
seminações finas a ultrafinas associadas a sulfetos, e mineraliza
ções subordinadas em veios de quartzo.

b) Os depósitos aluvionares — de pequeno e médio porte — caracterizam-se por sedimentos imaturos, com elevada proporção de argilas, submetidos a processos de laterização em intensidade variável. O ouro pode ocorrer ao longo de todo o perfil, com natural tendência de concentração no horizonte basal.

c) O minério pode ser lavrado com desmonte hidráulico e/ou mecânico, com plena recuperação do ouro atra vés de concentração gravimétrica e amalgamação.

d) Os resultados alcançados demonstram com clareza a economicidade dos depósitos, e encorajam o inicío imediato da lavra industrial em Novo Planeta, encerrando o periodo de operação experimental.

Espera-se por essa via a consolidação da meta primordial do Projeto, qual seja, a de garantir o aproveita-mento racional das jazidas existentes, e de trazer à região os be neficios econômicos e sociais promovidos pela mineração organizada.

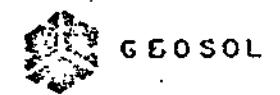
Manaus, 19 de outubro de 1985

Au Q 6. 1.

REFERÊNCIAS BIBLIOGRÁFICAS:

- BOYLE, R.W. (1979); the geochemistry of gold and its deposits; Geol. Survey of Canada, Bull. 280, 584 p.
- JARDIM de SÁ, E.F. (1984); Aspectos estruturais e tectônicos de granitóides; in Anais do XXXIII Congr. Bras. Geologia, SBG, Rio de Janeiro, p. 2787 2814.
- MANN, A.W. (1984); Mobility of gold in laterit weathering profiles: some observations from western Australia; Economic Geology, vol. 79, p. 38 49.
- MELO & MOREIRA FRANCO (1980); Geomorfología da folha SC-21 Juruena; in DNPM/Projeto RADAMBRASIL, vol. 20
- SILVA et al. (1980); Geologia da folha SC-21 Juruena; in DNPM/ Projeto RADAMBRASIL, vol. 20, p. 21 - 116.

ANEXO 09



BOLETIM DE ENSAIO PETROGRÁFICO

№9 429

Data 20.01.84

CLIENTE: Mineração Porto Estrela S.A.

PEDIDO: Descrição de lâmina delgada de rocha .

IDENTIFICAÇÃO DA AMOSTRA: PARAIBA 19.

DESCRIÇÃO MEGASCÓPICA:

Rocha cristalina cinzento-clara, granular, de granulação média a fina cortada por um conjunto de superfícies de foliação subparalelas, anastomosadas, não penetrativas. Em seção transversal elas aparecem como listras negras de menos de 0,5 mm de largura, envolvendo lentículas de espessura de vários mm.

COMPOSIÇÃO MINERALOGICA: Microclina, quartzo, hornblenda, plagioclásio, biotita, magnetita, apatita.

DESCRIÇÃO MICROSCÓPICA:

Rocha cristalina leucocrática, fanerítica, com proporção elevada de feneristais em matriz microfelsítica. O talhe dos fenocristais em geral val desde pouco menos de 1 mm até 5 mm. Alguns ficam na faixa de 0,2 a 0,5 mm, mas ainda assim fazem nítido contraste com a granulação da matriz, que é de cerca de 0,85 mm

Na classe dos fenocristais, o mineral predominante é a microclina, que apresenta a característica extinção em grade. Seus cristais são hipidiomorfos a xenomorfos, alguns apresentando estrutura pertítica muito fina.

Um pouco menos abundante e o plagioclásio, que tem macla polissintética segundo a lei da albita e apresenta contorno idiomorfo modificado por reabsorma, ou, em certos casos, forma tabular entortada. Geralmente é crivado de inclusões granulares da matriz. Ocorre também em intercrescimento irregular com a microclina. Seus parâmetros óticos correspondem ao albiclásio ou oligoclásio so dico.

O quantzo forma pequena proporção de fenocristais de contorno côncavo-corvexo de reabsorção.

Há uma proporção apreciável de fenocristais máficos. Em geral são agregados de vários minerais, que não ultrapassam 1,5 mm de diâmetro. Apenes um de seus constituintes é primário, os outros resultam de reações com o magma residual.

O máfico primário é um anfibólio de pleocroísmo entre verde amarelado c verde oliva (variedade de hornblenda). Os secundários são magnetita e biotita és pleocroísmo dado por: X = amarelo; Y = Z = castanho esverdeado. São frequentes as inclusões de apatita.

O múcleo do anfibólio em getal é quase incolor.

A matriz desta rocha é essencialmente um agregado sacarolde muito fino de cristals de quartzo e de microclina, sendo a última caracterizada pela extinção em grado. Enquanto o quartzo tem formas intelramente convexas, com tendência para o contorno hexagonal, a forma da microclina é mais irregular. Há notável decréscimo na granulação do quartzo na zona de reação que circunda os fenocris tais de feldspato.



BOLETIM DE ENSAIO PETROGRÁFICO

Nº 429 (cont.)

Doto 20.01.84

CLIENTE: Mineração Porto Estrela S.A.

PEDIDO:

IDENTIFICAÇÃO DA AMOSTRA: PARAIBA 19.

As pequenas agulhas de apatita são abundantes na matriz. Sineusis de cristais aciculares não são reras. Também ocorrem alguns cristais maiores, de apatita columar.

NOME: Quartzo pórfiro.

ALM8/mbrm



BOLETIM DE ENSAIO PETROGRÁFICO Nº 430 Data 20.01.84

CLIENTE: Mineração Porto Estrela S.A.

PEDIDO: Descrição de lâmina delgada de rocha

IDENTIFICAÇÃO DA AMOSTRA: P-19.

DESCRIÇÃO MEGASCÓPICA:

Rocha cinzento-clara, maciça, cristalina. Na fratura fresca destacam - se pelo brilho as superfícies de clivagem de cristais de feldspato de vários mm. Esta amostra parece-se com PARAIBA 19, mas não tem indícios da foliação metamár fica não penetrativa vista naquela. Jem crosta amarela de alteração.

COMPOSIÇÃO MINERALOGICA: Microclina, plagioclásio, quartzo, biotita, anfibólio, apatita, zircão, pirita, calcita.

DESCRIÇÃO MICROSCÓPICA:

Rocha cristalina leucocrática, fameritica, com proporção elevada de fenocristais em mátriz microfelsítica. O talhe dos fenocristais em geral fica entre 1 e 3 mm, contrastando com a granulação da matriz, que é de cerca de 0,05 mm ca amédia.

Os fenocristais predominantes são de microclina, que apresenta a caracteristica extinção em grade. Ocorre em cristais idiomorfos, com inclusões de quantzo, pirita e silicatos máficos, bem como xenomorfos e hipidiomorfos.

Também é frequente o plagioclásio em fenocristais muito sericitizados, em de apesar de tudo há maclas perceptíveis. O ângulo de extinção referido à mar cla da albita corresponde ao do oligoclásio.

O quartzo forma alguns fenocristais xenomorfos de forte extinção ondulante.

Restos de cristais de anfibólio parecem antigos fenocristais, mas o que é mais frequente na preparação é a biotita, que forma nesgas irregulares, provavel mente substituindo este mineral e encerrando os referidos restos. Os agregados peliculares desta biotita são paralelos, significando uma foliação metamórfica incipiente. O pleocroísmo de biótita é dado por: X = amarelo, Y = Z = castanho esverdeado.

A apatita ocorre em cristais colunares nos agregados biotíticos.



BOLETIM DE ENSAIO PETROGRÁFICO Nº 430 (Cont.) Data 20.01.84

CLIENTE: Mineração Porto Estrela S.A.

PEDIDO:

IDENTIFICAÇÃO DA AMOSTRA: P-19.

. A calcita também ocorre ocasionalmente nestes agregados.

A matriz é essencialmente um agregado granular de microclina e quartzo, am bos em cristais xenomorfos, não se observando diferenças sistemáticas de forma ou de talhe entre um e outro.

O plagioclásio ocorre na matriz em cristais prismáticos, cujo talhe é superior ao dos cristais dos minerais acima, fazendo transição gradual para os fe nocristais.

A apatita da matriz tende para a forma acicular.

A calcita ocorre em preferência nas nesgas biotíticas fortemente orientadas, sendo portanto um mineral metamórfico.

A pirita ocorre em raros cristais idiomorfos.

O zirção é um constituinte rero de habitus columar.

NOME: Quartzo porfiro.

ALMB/whrm



BOLETIM DE ENSAIO PETROGRÁFICO Nº 431 Data 20.61.84

CLIENTE: Mineração Porto Estrela S.A.

PEDIDO: Descrição de lâmina delgada de rocha

IDENTIFICAÇÃO DA AMOSTRA: P-31.

DESCRIÇÃO MEGASCÓPICA:

Rocha cristalina de granulação fina, onde predominam os grãos de feldspato e de quartzo de menos de 2 mm. Tem tonalidade rosea e estrutura foliada, devida ao arranjo subparalelo de minerais concentrados emtênues nesgas escuras.

COMPOSIÇÃO MINERALOGICA: Plagioclásio, quartzo, microclina, sericita, biotita, epidoto, mineral opaco, anfibólio.

DESCRIÇÃO MICROSCÓPICA:

Rocha cristalina porfirítica, leucocrática, com elevada proporção de feno cristalis, de talhe desde alguns décimos de milímetro até 2,5 mm. A matriz é criptocristalina, gouco transparente, e tem foliação acentuada, dada pelo arranjo paralelo de filossilicatos de origem metamórfica.

O principal tipo de fenocristal é um plagioclásio de macla poliscintética segundo a lei da albita. Tem contorno idiomorfo parcialmente modificado por real sorção. Está consideravelmente sericitizado. O ângulo de extinção em relação à macla é muito pequeno, correspondendo ao oligoclásio.

O quartzo também é abundante entre os fenocristais. Além de apresentar as concavidades típicas de cristais idiomorfos parcialmente reabsorvidos, mostra efeitos de esmagamento, a saber, extinção ondulante e granulação interna. Entre tanto, os cristais esmagados não são atravessados por superfícies de foliação, e sim contornados por elas.

A microclina constitui um terceiro tipo de fenocristal, muito menos frequente que os outros dois.

· Alguns grãos opaces negros e agregados de lamelas de filossilicatos associados a material epaco representam antigos fenocristais máficos alterados.

A matriz é constituído por minerais félsicos e máficos. Os primeiros formam um agregado criptocristalino, quartzofeldspático, de difícil resolução. Os últimos ora se distribuem alcatoriamente entre es primeiros ora formam nesgas



BOLETIM DE ENSAIO PETROGRÁFICO Nº 431 (Cont.) Doto 20.01.84

CLIENTE: Mineração Porto Estrela S.A.

PEDIDO:

IDENTIFICAÇÃO DA AMOSTRA: P-31.

definidas, de orientação planar devida à sua origem metamórfica. O principal mineral destas nesgas é a biotita em pequenas palhetas esverdeadas e pleocróicas. Este mineral ocorre também em raras escamas maiores, acastanhadas, que devem ser de origem ignea. Junto com a biotita concentram-se grânulos de epidoto e de mineral opaco.

A sericita substitui de preferência os fenocristais de feldspato e subordinadamente e-matriz. Orienta-se segundo direções cristalográficas (mais de uma) dos primeiros e segundo a foliação da última. Há também algumas lentículas formadas por escamas maiores de moscovita.

Um anfibólio verde, estirado nos planos de foliação, é de ocorrência lo-

NORE: Riodacito porfiro,

ALMS/obrm

BOLETIM DE ENSAIO PETROGRÁFICO Nº 432 Doia 20.01.84

CLIENTE: Mineração Porto Estrela S.A. .

PEDIDO: Descrição de lâmina delgada de rocha

IDENTIFICAÇÃO DA AMOSTRA: D 7.

DESCRIÇÃO MEGASCÓPICA:

Rocha cristalina, maciça, de granulação média e cor rósea, mesclada com pintas pretas de poucos milimetros de diâmetro.

COMPOSIÇÃO MINERALOGICA: Microclina, plagioclásio, quartzo, biotita, epidoto.

DESCRIÇÃO MICROSCÓPICA:

Rocha cristalina leucocrática, blastoporfirítica. Tem alta proporção de fenocristais de 1 a 3 mm de diâmetro entre os quais se intercala matriz granular de granulação compreendida entre 0,1 e 0,2 mm. A proporção de matriz é inferior à de fenocristais.

Os fenocristais são essencialmente xenomorfos e cheios de inclusões, entre as quais grãos de quartzo, escamas corroídas de biotita, palhetas mais finas de sericita e grânulos de epidoto. Plagioclásio e microclina ocorrom em proporções sonsivelmento equivalentes.

O plagioclásio é notavelmente saussuritizado. É maclado segundo a lei de albita. Uma parte dos fenocristais tem núcleo de plagioclásio e envoltório de microclina. Trata-se do oligoclásio.

A microclina tem a típica extinção em-grade que resulta da associação das maclas polissintéticas da albita e da periclina.

O quartzo apresenta todas as variações de talhe, desde alguns contésimos de milímetro até 1 mm. Não existem formas típicas de fenocristais, mas é possivel que alguns dos cristais maiores, que são xenomorfos de extinção ondulante, apresentem antigos fenocristais tensionados e deformados. Uma parte do quartzo, principalmente o que está incluso nos feldépatos, é de origem secundária.

Alguns grandes agregados máficos com predomínio de pequenas escamas de biotita e/ou grânulos de epidoto podem representar antigos fenocristais transformados por metamorfismo.



BOLETIM DE ENSAIO PETROGRÁFICO Nº 432 (Cont.) Data 20.81.84

CLIENTE: Mineração Porto Estrela S.A.

PEDIDO:

IDENTIFICAÇÃO DA AMOSTRA: D 7.

A biotita ocorre em pequenas palhetas de pleocroísmo segundo: X = amarelo, Y = Z = verde acastanhado. As concentrações mais densas de escamas não são monomi nerálicas, pois são crivadas de grânulos de epidoto e cristais de plagiociásio e de quantzo.

A matriz desta rocha é um agregado granular de feldspato e quartzo no qual estão disseminados grânulos minúsculos de epidoto, grãos opacos e palhetas de biotita, estas, conforme indicado acima, preferencialmente concentradas em manchas localizadas.

NOME: Meta-granito porfiro.

ALMB/mb rm



ANÁLISE PETROGRÁFICA

Ref. SEC/086/84

 	
uperintendencia	
	Goiânia

17.09.84

Nº LOTE

И,	ρA	AMC	STRA
M	7 –	03-	-R

PROCEDENCIA

N. DY LICHY

M.A.C.

coletominieressaco Min.Porto Estrela S/A

MATERIAL

Rocha

CAPACIERÍSTICAS MACAOSCÓPICAS

Rocha de coloração cinza, mostra textura porfirítica com ma triz fanerítica fina e estrutura maciça. Constitui-se macroscopica mente de feldspatos, quartzo e minerais máficos-anfibólio e biotita.

COMPOSIÇÃO MINERALÓGICA (%)

Quartzo	30	Serici ta
Microclínio	. 30	Opaco
Plagioclásio (albita-olig	<u>30</u>	Apatita
clásio)	25	Titanita
Hornblenda		Zircão
Biotita	10	
Tremolita-Actinolita		·
<u>Epidoto</u>		

DESCRIÇÃO MICHOSCÓFICA

Rocha de composição ácida, caráter extrusivo ou subvulcâni ca-fácies de borda ou de dique, mostra textura porfirítica com matriz granular fina e estrutura macica.

Pómiros são de K feldopato-microclínio-plagioclásio, quarto de anfibólico; os de microclínio são tabulares, subidiomórficos, mostram a geminação polissintética cruzada e são invariavelmente pertíticos. Plagnoclásio é idiomórfico, tabular-ripiforme, está ge minado segondo as leis da albita e albita-carlabad, está por vezes zonado. Pórfiros de quartzo são raros, idiomórficos, mostram extinção ondulante, bordas corroídas e inclusões da matriz. Os de anfibílio são xenomórficos a subidiomórficos tabulares, apresentam-se por nados, com porções centrais metamorficadas a tremolita-actinolita incolor a verde pálido em feixes de prismas aciculares, nas bordas observa-se a horoblenda primária inalterada, verde escura, certamen te menos susceptível ao processo metamórfico. Biotita marrom en agregados lamelares e opaco xenomórfico aparecem associados.

A matriz é granular fina, está recristalizada e constituise de quartzo formando mosaicos de cristais poligonais, microclínic mostrando a geminação polissintética cruzada e plagioclásio gemina do segundo as leis da albita e albita-carlsbad.

Epidoto em agregados granulares e sericita em finíssimas pa lhetas são produtos secundários.

Minerais acessórios presentes são opaco xenomórfico, apati ta em prismas, titanita associada aos máticos e zircão em cristais

CEASSINCAÇÃO	CLASSE	RUSRICA	۸
<u></u>	 <u> </u>		
OBSERVAÇÕES COMPLEMENTARES		$\overline{}$)~~
MOD. 314	 ······································	<u> </u>	116 7530 00U 3W

	ANÁLISE PET	ROGRÁFICA	Ref. S	SEC/086/84	
CPRM	SUPERINTENDENCIA (Goiânia	17.09	c.c	. Nº LOTÉ -
MP-D3-R		PROCEDENCIA		_	N, DY LICHY
PETRÓGRAFO M.A.C.		colstonnitisss, Min.Porto	bo Estrela S/A	MATERIAL.	Rocha 1
CARACTERISTICAS MA	CROSCOPICAS .				
	•		• • •		
, 					
		MPOSIÇÃO I	MINERALÓGI C	A (%)	*
				······································	
				•	
· · · · · · · · · · · · · · · · · · ·					
מנגטשוטאט אזכנטגט	opica continus				.
evédricos.		•	•	• •	
0 pela subst é de'baixo	ituição de p	e evidencia parte de ho	do pela rec rnblenda po	ristalizaç r tremoli	ão da matriz e ta-actinolita,
. ,	ක්ෂර්භර	ifeita apen	s wincrais as através scada em Jo	de observa	z é una apro <u>ri</u> ção visual.
				•	
	•		·.		
			1 4		,
			•	•	•
		•			
			•		
crassilicação Qu	artzo Pórfir	ю.	Len ea-Media	mó zris az II	FUSSICA

NE 7530,0011230

OSSERVAÇÕES COMPLEMENTALES

MOD. 334

Zircão em cristais cuédricos e apatita em priemas ou em ser ções basais hexagonais são minerais acessórios.

Granito pórfiro granofírico e granófiro são rochas de compraição granítica que ocorrem em diques ou em fácies de borda, bu se ja, são rochas hipabissais.

continua...

<u></u>		 			
CLASSIFICAÇÃO	-	 - 388A	· ·	EUSRICA	
		 			į
OFSERVAÇÕES COMPLEMENT	I A FI A				:
MOD. 334		 <u>-</u>		NE 36310	211.920

	ANÁLISE PET	TROGRÁFICA	Ref. SEC	0/086/84	
CPRM	SUPERINTENDENCIA	Goiânia	17.09.8	c.c.	- Nº LOTE
PM-3-R/32	/3)	PROCEDENCIA			N' DA RCHA
PEIRÓGRAFO M.A.C.		Min.Porto	oo Estrela S/A	MATERIAL RO	cha 25
CARACTERISTICAS M.	ACROSCOPICAS				,
·}·	•		• .	• ,	,
		·	•	•	
ļ	. CC	OMPOSIÇÃO N	MINERALÓGICA	(%)	, ,
	- 1				
				·	·
	· · · · · · · · · · · · · · · · · · ·			·	

DESCRIÇÃO MICROSO	CAICA continue				
on	S.: - A percal	centagon do inada.	s minerais aj veaça em Joha		é apenas
e space.	,				
					- -
	•			•	·
,					• -
		•			
	•	•		•	
	•	•	•	,	
			•		
•			•	;	•
		· , .	•		
				•	•
	mófi.ro		reasse Ignea	Pussio	^
OBSERVAÇÕES COMMEN	WENTAKES				

NE 7030,02113167

MOD. 331



M.A.C.

SEC/086/84

Rocha

	ANALISE PETROGRAFICA	Ter. 500/000/04	
CPRM	SUPERINTENDENCIA Goiânia	27.09.84 C.c.	- No FOLE
n. oa amostra PG61-R-	PROCEDENCIA	_	N. DY HCHY
PETRÓGRAFO	I COLETOWINTERESSADO	MATERIAL	

Min.Porto Estrela S/A

CAPACTERISTICAS MACROSCÓPICAS

Rocha de coloração cinzenta, mostra textura porfirítica com matriz microfanerítica e estrutura maciça. Constitui-se macroscopi camente de feldspatos, quartzo, biotita, argilominerais e óxido de

COMPOSIÇÃO MINERALÓGICA (%) Microclinio 35 Opaco Plagioclásio 30 Zircão 25 Quartzo Titanita 05 Biotita Apatita Clorita Epidoto Sericita Argilominerais

LESCRIÇÃO ARCHOSCOPICA

Rocha de composição granítica, mostrando textura porfiríti ca com matriz granular fina, recristalizada e estrutura maciça.

Pórfixos são de microclánio e de plagioclásio. Os do micro clínic são xenomórficos mostram a macla polissintética cruzada típi ca e intercrescimento pertítico. Os de plagioclásio são cos, tabulares, estão geminados segundo as leis da albita, falbitacarlebad e albita periclímio, parcialmente saussuritizados e cober tos por epidoto em prismos curtos abundantes, sericita em finas pa Thetas e argilominerais.

A matriz recristalizada evidencia processo metamórfico inci piente. Constitui-se dominantemente de quartzo, microclínio, plagio chásio e biotita. Quartzo é xenomórfico, granular, mostra extinção ondulante, dicroclímio e plagroclásio são também xenomérficos, tão geminados como nos pórfiros e apresentam intercrescimentos nofíricos (micro-pertitas) localizados, principalmente nas de alguns pórfiros. Biotita é verde, forma agregados lamelares dis persos, está parcialmente eloritizada e associa-se a titanita grami lar e a opaco xenomórfico.

Zircão em cristais euédricos e apatita em prismas são os mi nerais acessórios presentes.

Esta rocha, como as eriostras anteriormente estudadas tichas 1/5 c 2/5) apresenta uma textura típica, subvulcânica, hipa bissal, portanto interpretada como sendo de dique ou de fácies borda.

continua...

CLASSHICAÇÃO		 CEASSE		EUBRICA	•
OBSERVAÇÕES COMPLE	LAN INTARES		·	<u></u>	√ ⊃-
MOD. 334		 		 •	44E 7506.67715.0

	ANÁLISE PET	ROGRÁFICA	Ref	SEC/C	86/84	•	-
CPRM	SUPERINTENDÊNCIA	Goiânia	PAY 17	.09.84	c,c,	[Na FOIE
Nº DA AMOSTRA FG-61-R		PROCEDENCIA				N. 01	FICHA :
PETROGRAFO . M.A.C.		COLETOMNIESSA Min.Porto	oo Estrela	S/A	MATERIAL	Rocha	TN.
CARACTERISTICAS MA	ACROSCÓPICAS						
·		•	•	•		*• .	
	·						
						 ,	
	C	OMPOSIÇÃO	MINERAL	OGICA (%	6)		
-		<u></u>	_		· · · · · ·		
			-	<u></u>			
			-		•		
<u>.</u>		 :	-		-	·	
							
DESCRIÇÃO MICROS	copica contin		<u></u>				<u></u>
	35.: - Perce	•	mi norai :	s. ammon	imada.	•	
	_ Class	ificação ba	seada e	n Johan	nsen.		! !
•		i					-
		1			• •		. !
					•		.]
			r				•
		(•			
			•			•	
·		. *	.,	-			
	•						ĺ
	•	1					
		\					
		1					i
•							. •
				. ` .		•	-
ļ				. '		•	
CLASSHICAÇÃO G	ranito Pórf:	iro .	[{\f\\\\\\\\\\\\\\\\\\\\\\\\\\\\\\\\\\\	iie tanó:	rfica	LUBRICA	
OBSTEVAÇÕES COM							
MC'0. 334			············	<u> </u>		1	14E 7530 757125003

* *

SEC/086/84

	ANALISE PET	ROGRAFICA	Mer. one	7 0007 04		
CPRM	SUPERINTENDENCIA	Goiânia	DATA 17.09.84	c.c.	Na f	01E —
na da amostra MF-26 - F	•	PROCEDENCIA	_		N. DY HC	iA.
PETROGRAFO M. A.C.		COLETORINITEESSADO Min.Porto E		MAYERIAL F	Rocha	

CARACTERISTICAS MACHOSCOPICAS

Rocha de coloração cinza escuro, mostra textura porfirítica com matriz afanítica e estrutura maciça. Constitui-se macroscopica mente de quartzo e feldspatos.

COMPOSIÇÃO MINERALÓGICA (%)

Quartzo	35	Zircão
Plagioclásio (albita-oligo		Ti tani ta
clásio)	30	Clorita
K feldspato	30	
Sericita		
Carbonato		
Epi doto		
Opaco :		

DESCRIÇÃO ANCROSCÓPICA

Rocha vulcânica de composição ácida, mostrando textura por firítica com matris felsítica recristalizada e estrutura maciça.

Fenderistais mais abundantes são de quartzo, atingem. 3,5 rm de diâmetro, mostram formas arredondadas, extinção ondulante e bainhamento, on seja, marcas de corrosão pela matriz. Fenocristais de felóspatos são maiores do que os de quartzo e atingem 5 a - 6 m no seu comprimento maior, os de plagioclásio são tabulares idiomór ficos a subidiomórficos, mostram as geminações lei da albita e albi ta-carlsbad e estão bastante alterados a sericita e epidoto. Os de microclínio são xenomórficos com macla em grade característica, tercrescidos com plagioclásio (pertitas).

A matriz felsítica constitui-se por um agregado cripto cris talino a microcristalino de quartzo e feldapatos não individualica dos. Núcleos de recristalização podom ser observados; aparecem ain da associados carbonato, nitidamente secundário, em geral preen chendo vêmulas e microfraturas, epidoto em prismas curtos ou agregados granulares, sericita em minúsculas palhetas.

Opaco em cristais xenomórficos parcialmente oxidado e cão eucdrico são os minerais accesorios presentes.

Titanita en agregados granulares associada ao opaco e clori ta em raras lamelas são tembém minerais secundários. .

OBS.: - Percentagem dos minerais é aproximada.

- Classificação bascada em Johannsen e Streckeisen.

CLASSIFICAÇÃO Riolito	mea/Metamórfica	EUBRICA .
OPARTANCO'S COMMENSATES		.0>>>



ANÁLISE PETROGRÁFICA

Ref. SEC/086/84

SUPERINTENDENCIA GOIÂNIA 17.09.84 C.C. Nº LC) TE

N* DA AMICSTRA	PROCEDENCIA
n* da amostra FG-163-R(23/3)	
カ はーエロシーエ(4 0/ 0 /	: I

N' DA RCHA

PETROGRAFO COLETORINTERESSADO Min.Porto Estrela S/A M.A.C.

CARACITRISTICAS MACROSCÓPICAS

Rocha de coloração rósea com manchas milimétricas mostra textura inequigranular média a grosseira e estrutura maciça. Constitui-se macroscopicamente de quartzo, feldspatos e biotita.

COMPOSIÇÃO MINERALÓGICA (%)

OOM OOM	2770	THE TAREOUTOR (78)
Quartzo	25	Opaco
Microelínio	30	Titanita
Flagioclásio (albita-oligo		Zircão
elásio)	-30	Apatita .
<u>Biotita</u>	10	
Clori ta	<u> </u>	
Epidoto		
Serici ta	<u> </u>	

DESCRICAD MICROSCOPICA

Rocha de composição granítica mostrando textura inequigrana lar hipidiomórfica e estrutura mácica.

Constitui-se dominantemente de quartzo, feldspatos e bioti ta. Quartzo é xenomórfico, poligonal, mostra extinção Feldspaios, microclínio e plagioclásio, aparecem tembém em cristais porfiríticos atingindo 1,5 em de comprimento. Cristais de microelí mio são xenomórficos, invariavelmente pertíticos, mostram a polissintétia cruzada característica. O plagioclásio é t tabular, idiomórfico e subidiomórfico, está geninado segundo ao leis da bita e albita-carlsbad e parcialmente saussuritizado. Biotita verde, fortemente pleocróica, forma agregados lamelares parcialmen te cloritizados, associa-se a opaco xenomórfico e a titamita mórfica.

Zircão em cristais euédricos e apatita em prismas ou ' secções basuis hexagonais são minerais acessórios.

OBS.: - Percentagem de minerais aproximada.

- Classificação baseada em Streckeisen.

<u> </u>		
CLASSINCAÇÃO Biotita Granito Porfirítico	classe Ignea	ADITEUA
OBSERVAÇÕES COMPLEMENTALES		
14639 327		** ** ** ** ** ** ** **



ANÁLISE PETROGRÁFICA

المحلو الرياتيان	A. 1740.00 1 - 1		•	, -		
CPRM	SUPERINTENDENCIA	Golânia	23.10.84	; C.c	N ₈ fc	.T.E
DJ-01-R		PROCEDENCIA			N. DY LICH	, — ;
PETROGRAFO M.A.C.	·	COLETORINTERESSACO Min.Porto E		MATERIAL	Rocha	

Rocha de coloração parda a castanho avermelhada mostra tez tura porfirítica com matriz gramular fina a média e estrutura maciça. Constitui-se macroscopicamente de quartzo, feldspatos, biotita e óxido de ferro.

COMPOSIÇÃO MINERALÓGICA (%)

001111 001		ILLUATORON (AD)
Quartzo	30	Zircão
Microclínio	30	Apatita
Plagioclásio (AlbOlig.)	30	
Biotita	05	
Epidoto		
Serici ta		
Opaco		
Titanita		•

DESCRIÇÃO MICHOSCOPICA

Rocha de composição ácida mostrando textura porfirítica comatriz holocristalina, granular xenomórfica fina a média, recristalizada e estrutura maciça, pouco deformada e fraturada.

Pórfiros são de feldspatos (atingem 1,5 cm) e de quartzo. Os de feldspatos mais comuns são de microclínio, invariavelmento pertítico, tabulares, xenomórficos, geminados por vezes, mostranêo intercrescimentos granofíricos em suas bordas. Pórfiros de plagio clásio cão menos comuns, mostram as geminações lei da albita e albita-calebad, são subidiomórficos estão parcialmente saussuritizades e albitizados nas bordas. Os de quartzo são raros, tabulares, subidiomórficos, apresentam extinção ondulante e bordas corroídas pela matriz (embainhamento).

A matriz constui-se dominantemente de quartzo, feldspates e biotita. Quartzo é xenomórfico, granular. Feldspatos são tabula res xenomórficos a subidiomórficos e apresentam as mesmas caracte rísticas dos pórfiros. Biotita é verde, fortemente pleocróica, fer ma agregados lamelares.

Epidoto em prismas curtos ou em agregados granulares e sericita em finas palhetas são minerais secundários.

Opaco em cristais xenomórficos associados a titanita grama lar é acessório comum. Apatita em prismas ou em secções basais hexa gonais e zircão em minúsculos cristais euédricos são os demais aces sórios encontrados.

A recristalização da matriz revela um metamorfismo de grau

CLASSE CUBRICA		
	CLASSIFICAÇÃO	The state of the s
		<u> </u>
OSSETA CONSTRUCTIONS	OSSERVAÇÕES COMPLEMENTATES	
MOD, 334	MO0, 314	

	ANÁLISE PET	ROGRÁFICA		·	- · · · ·	
CPRM	SUPERINTENDÊNCIA	Goiânia	23.1	.0.84 c.c.	Nº 10	
N.º DA AMCSTRA DJ-01-R		PROCEDENCIA			N. DY HC	₹ ∧
PETRÓGRASO M.A.C.		coletorintelessas Min.Porto		MATERIAL .	Rocha	
CARACTERISTICAS	MACROSCÓPICAS					
					•••	
	•				-	
	• •			•	• ••	
· · · · · · · · · · · · · · · · · · ·	C	OMPOSIÇÃO N	MNERALÓG	ICA (%)		
				<u></u>		
,						
· :						
		•				
			<u> </u>			
PESCRIÇÃO MICEO	scouca contin	xeçao:				
incipien	te.	,	•			
<u>-</u>	h textura obs	servada é su	bvul câni d	a, hipabis	esal túpica	genî
a rochs,	portanto, pr	rovenienie d	ie digue o	ov de fácie	es de borda.	
(OBS.: -Classi	ificação bas	eada'emi	lohannsen.	•	
-	-A pero	centagem dos	minerais	s é aproxim	rada.	
			•	,		
				٠		
		•	•			
	•		v.			

CLASSNICACIO
LIA Granita Fórfi.ro

CIASSE
L'ANCO A L'ANCO

<u>i.</u> 4	ANÁLISE PET	ROGRAFI	iCA	_	
	SUPERINTENDÊNCIA	Goiâni	a	_	23.10.84 C.C Nº LOTE
CPRM		PROCESEN	ICIA		N. DY UCHY
MF-90-R		<u> </u>		_	I MATERIAL I J.C.
PETROGRAFO M.A.C.		COLETONIN Min.Po	rtzessad	0 2:	strela S/A Rocha 2
CARACTERISTICAS MACROSCOPICAS					
Xenolito de rocha vulcânica encaixado em rocha granitica,					
mostra coloração esverdeada escura, textura afanítica e estrutura ma ciça. Constitui-se macroscopicamente de feldspatos e minerais máfi					
1	stitui-se ma	croscop)1 cam	G J	nte de leidspatos e minerais mari
cos.	·				
	C(OMPOSIÇ	M OÃ	111	VERALÓGICA (%)
Plagioclá	sio		_40_		
Tremolita	-Actinolita				
Clorita			30		
Biotita					· .
Titanita					
Opaco					
Quartzo	· · · · · · · · · · · · · · · · · · ·	··	25		
K Feldsba	to (?)				
DESCRIÇÃO MICRO			· · · · · · · · · · · · · · · · · · ·		
					cânica de composição intermediá r intensos processos de cloritiza
ma, mui	o alterada,	mascara Mootra	ada p tovto	io.	r intensos processos de cloritiza a porfirítica com matriz microcris
	erintocrista		00%,00	LIL	a politication con material materials
1	-		plag	;i	oclásio, fortemente saussuritiza
	lar, Adiomór		_		
					agregados lamelares de clorita,
lamelas	ie biotita, i	leixes (de pr	ì	smas aciculares de tremolita-acti sticial, mascarado pelos minerais
					dmente de quartzo, plagicclásic
e/ou K fo		р.			
1 .	-				comum, aparece em cristais xeng
	com bordas				
l .					ção e as transformações sofridas
bera Loca	и изо Белит	PETAIN (II	ຫະເ ປປ	.c1	ssificação mais procisa.
(OBS.: -Foi d	escrito	aper	າສ	s a porção relativa ao xenólito,
1	confo	rme o s	olici	.t	ado.
	-A roc	ha enca:	ixan	te	e é un granófiro portador de cass <u>i</u>

.c.ksse Tgnea/Kotamórfica

RUSRICA

NE 7530.0711.9767

terita.

ctassucação Metavul cânica Intermediá

OLSERVAÇÕES COMPLEMENTARES

MOD. 334



	ANALISE PET	ROGRAFICA		·		
CPRM	SUPERINTENDENCIA	Goiânia	23.10.8	6.c.	N°	LOTE
N° DA AMOSTRA CM -43-R		PROCEDENCIA	<u></u>	•	N. DY EC	:RA -
PETROGRAFO M. A. C.		COLETORINIERESSAD	o Estrela S/A	MATERIAL	Rocha	320

Rocha de coloração castanho avermelhada; mostra textura por firítica com matriz granular fina e estrutura maciça. Constitui-s∈ macroscopicamente de feldspatos, quartzo e óxido de ferro.

COMPOSIÇÃO MINERALÓGICA (%)

COM: CC	7.7.0	THE COLUMN THE PROPERTY OF THE
Microclínio	30_	Apatita
Plagioclásio (AlbOlig.)	30	SEricita
Quartzo	30	
Epidoto		
Clorita	05	
Sericita		
Opaco		
Zircão	<u> </u>	

DESCRIÇÃO MICROSCÓPICA

porfiritical Rocha de composição ácida, mostrando textura com matriz holocristalina granular granofírica e estrutura maciça.

Pórfiros são de feldspatos: microclínio tabular, subidiomór fice, geminado e pertítico e plagioclásio também tabular, idiomórfi co, geminado segundo as leis da albita e albita-carlabad, mente savesuritizado. Atingen 0,5 cm de comprimento.

A matriz é granofírica, caracterizada por intercrescimentos entre o quartzo e feldspatos, em formas criptocristalinas das, micropegnatíticas, esfcrulíticas, plumosas, interpenetrantes,

et[©] Clorita em agregados lamelares, epidoto em prismas minúscu los ou em agregados granulares, sericita em raras palhetas são dutos secundários.

Opaco xenomórfico, apatita em prismas e, zircão em cristais éuédricos são os minerais acessórios presentes.

Sanssuritização do plagioclásio e cloritização podem mir processo metamórfico incipiente.

Rocha sub vulcânica, hipabissal, diferindo dos granito-pór firos apenas por apresentar uma textura granofírica.

> OBS.: -Clausificação baseada em Johannsen -Percentagem de minerais baseada apenas em estimativa visual.

1	, , ,				
CŁASSIHCAÇÃO	Granófiro 、		CLASSE	Ignea .	KDISEUS
OESERVAÇÕES C	OMITTEMENTARES !	<u></u>			$\bigcirc \frown \bigcirc$
MOD. 336					 NE 1530 O. 11 F. C.

Poligina 1



ANÁLISE PETROGRÁFICA Nº LOTE SUPERINTENDENCIA °23,10.84 Goiânia CPRM N' DA JICHA PROCEDENCIA N.º DA AMOSTRA FG-201-R PETPOGRAFO M.A.C. COLETORINTERESSADO MATERIAL Rocha Min.Porto Estrela S/A

CARACTERISTICAS JAACROSCOPICAS Rocha de coloração castanho avermelhada, mostrando textura porfirítica com matriz granular fina e estrutura maciça. tui-se macroscopicamente de feldspatos, quartzo, máficos e óxido de ferro.

COMPOSIÇÃO MINERALÓGICA (%)

		(70)
K Feldspato	30	Apatita
Plagioclásio (AlbOlig.)	30	
Quartzo -	30	
Epi/dolo		
Clorita	05	
Sericita		
Opaco		
Zircão		

DESCRIÇÃO MICHOSCOPICA

Rocha identica à de número CM-43-R anteriormente estudada, apresenta textura mais fina.

Pórfiros de K feldspato pertítico e de plagioclásio com bor das de pertita, tabalares, xenomórficos a idiomórficos estão envolvidos por matriz quartzo feldopática gronofírica, caracterizada es schcialmente por intercrescimentos diversos entre estes citados constituintes.

Ainda na matriz observa-se clorita em agregados lamelares dispersos, epidoto em minúsculos prismas e palhetas de sericita. pidoto aparece ainda em fraturas e vênulas formando agregados diais de prismas mais longos. São minerais secundários mostrande processos de cloritização, saussumitização e epidotização.

Opaco é acessório relativamente comum, aparece em cristais xenomórficos ou em agregados pulverulentos. Está parcialmente oxida do conferindo a rocha coloração avermelhada escura. Demais minercis acessórios presentes são apatita em prismas e zireão em euédricos.

Observações quanto a gênese são as mesmas feitas para amostra de número CM-43-R. Trata-se de rocha hipabissal, subvulcâni ca.

> OBS.: -Classificação baseada em Johannsen -Percentagem dos minerais baseada em estimativa Vi. sual.

classificação Granófiro		Asst Ignéa	RUBRICA .
OBSERVAÇÕES COMPLIMENTALES	1		
MOD. 334			NE 2500 (N1 5.63



	ANALISE PET	ROGRAFICA	<u> </u>	حجود	
CPRM	SUPERINTENDÊNCIA	Goiânia	25.10.84 c.c.	- Nº L	— —
MF-94-R		PROCEDENCIA		Nº DA FICI	π λ
PETROGRAFO M.A.C.		Min.Porto E	strela S/A MATERIAL	Rocha][5]

CARACTERISTICAS MACROSCOPICAS

Rocha de coloração cinza escuro, mostra textura porfirítica com matriz afanítica e estrutura maciça. Constitui-se macroscopics mente de quartzo, feldspatos e minerais máficos.

COMPOSIÇÃO MINERALÓGICA (%) 30 Opaco Quartzo Zircão Plagioclásio (Alb.-Olig.-Apati ta 30 And.) K Feldspato 30 (Felsita) Clorita .05 Epidoto Sericita

DESCRIÇÃO MICROSCOPICA

Rocha de composição ácida, textura porfirítica com felsítica e estrutura macica.

Fenocristais são de plagioclásio, K feldspato e quartzo. 😉 de plagioclásio são os maiores, atingem 0,5 em de tamanho, são tatu lares, idiomórficos, envolvem restos de pertita e estão bastante se ricitizados. Os de K feldspato são raros, invariavelmente cos, tabulares e xenomórficos. Fenocristais de quartzo são ficos, mostram extinção ondulante e bordas corrbídas pela (cmbainhamento).

A matriz está recristalizada e constitui-se essencialmenta de felsita: agregados fibro-radiais, esferulíticos criptocristali nos a microcristalinos de uma mistura de quartzo e feldepatos.

Ainda na matriz observa-se processos de cloritização e ser citização. Sericita aparece ainda sobre os fenocristais de clásio. Demais minerais secundários são titanita em agregados gram lares ou em cordões associada a epidoto granular e carbonato. ciado a quartzo em vênulas.

Opaco xenomórfico parcialmente oxidado, apatita em prismas e zircão em cristais enédricob são os minerais acessórios presentes A textura apresentada pela rocha indica uma origem vulcâni

ca.

OBS.: _Classificação baseada em Johannsen - Composição mineralógica apresentada é aproximada,

		——— (**********************************	
CLASSHICAÇÃO	CEASSE	RUSPICA	-
•	L		ļ
OBSERVAÇÕES COMPLEMENTALES	•		
<u></u>			A.E. 2120 4042 6:-

MOD. 334

NE 7530.6211 2:43

	ANALISE PE	TROGRÁFICA	A			~	
CPRM	ALSMACMATMIREQUE			25.10.84	c.c.	_ N	* LOTE
MF-94-R		PROCEDENCIA			•	N. 9Y	ECHA —
PETRÓGRAFO M.A.C.		COLETONINIER Min.Port	ssado o Estre	la S/A	MATERIAL	Rocha	
CARACTEUSTICAS MA	CEOSCOPICAS					*	
				٠.		•	
					,	•	
	C	OMPOSIÇÃO	MINER/	ALÓGICA (0/0)		
- 		·					
				-			
		·		•			
				- 	 		
DESCRIÇÃO MICPOS	CONCA CONTIN	nação:					
	teve c	omo base a	menas 3	. observa	scão vis	wal.	•
	1		· <u>1</u> · - 2· · · · · · · · · · · · · · · · · · ·		3 02 0 7 11 1		
<u> </u>						•	
-		• •	٠,				
	·		•		_		
1 .			-	•			
,			-				
			i.	· · · · · · · · · · · · · · · · · · ·			. •
			- Ng				
			- 				
							. •
CLASSICAÇÃO	Daci to		CLASS	· Ignea		RUBRICA	

NE 7530,07115%1

MOD. 231



	ANÁLISE PET	ROGRÁFICA				
CPRM	SUPERINTENDENCIA	Goiânia	25.10.84	c.c.		Ne LOTE
CM_51_R		PROCEDENCIA	-			DA FICHA
PETROGRAFO M. A. C.	•	Min.Porto E	strela S/A	MATERIAL	Rocha	<u>}</u>

CARACTERISTICAS MACROSCOPICAS

Rocha de coloração castanho a róseo, amarelada na superfi cie por alteração, mostra textura porfirítica com matriz afanítica e estrutura maciça. Constitui-se macroscopicamente de feldspatos, quartzo e óxido de ferro.

COMPOSIÇÃO MINERALÓGICA (%)

Quartzo	30	Carbonato
K Feldspato	35	Opaco
Plagioclásio (AlbOlig.)	25	Apatita
Clorita		Zircão
Biotita	05	
Epidoto		
Ti.tani ta		
Seri ci ta		

DESCRIÇÃO MICROSCÓPICA

Rocha de composição granítica, mostrando textura porfiríti ca com matriz microgranular e estrutura maciça.

Fenocristais são de K feldspato, plagioclásio e quartzo. Os de K feldspato são invariavelmente pertíticos, tabulares, idiomórfi cos a xenomórficos, atingem 3,0 mm de comprimento. Os de plagioel<u>é</u> sio são prismático-tabulares, idiomórficos, geminados segundo leis da albita e albita-carlabad, mostram-se parcialmente saussuri tizados. Penochistais de quartzo como os de plagioclásio são raros, idiómórficos, mostram extinção ondulante e bordas corroídas pela ma triz (embainhamento).

A matriz está recristalizada e constitui-se predominantement to de quartzo e feldspatos microgranulares impossíveis de serem dividualizados. Biotita verde em agregados lamelares forma múcleos com epidoto, clorita e titamita associados, estes aparecem dispersos. Carbonato é observado em vênulas.

Opaco parcialmente oxidado, apatita em prismas ou em ções basnis hexagonais e zircão cuédrico são os minerais acessórios presentes.

A recristalização da matriz e os processos de saussuritiva ção, cloritização e epidotização sugerem processo metamórfico inci piente.

A textura observada revela uma rocha de origem vulcânica ti pica.

_continua...

Language and the second	
CLASSIFICAÇÃO . CLASSE	VOISENS
OFSECVAÇÕES COMPLEMENTATES	.000
MOD. 314	NE 7530,0211,5G/E

	ANÁLISE PET							Nº LOTE	,
PRM	SUPFRINTENDENCIA	Goiânia		25.1	0.84	c.c.	·	DA RCHA	
DA AMOSTRA	1 -1 - 1 - 4	PROCEDENCE	^ -					I	No.
20GRAFO		Min.Por	to Est	rela S		ATERIAL	Rocha		63
RACTERISTICAS A	AACEOSCOPICAS			•				- Z	
			•						
. •	•		-		•	,		~ - "	
		OMPOSIÇÃ	O MIN	ERALÓ(SICA (%)			
<u></u>		OWIL COICE							ļ. .,
			_		<u> </u>		······································		
					•				<u> </u>
									
			-	<u> </u>					
									<u> </u>
	••								<u> </u>
	OES.: -Class -A com	•	ຫວ່າວ ຜຽງລ	പരമാദമ	ances	entau	a é um vação	a per visua	cent
	OES.: -Class	sificação	ຫວ່າວ ຜຽງລ	പരമാദമ	ances	entau	a é um vação	a per visua	cent
÷	OES.: -Class	sificação	ຫວ່າວ ຜຽງລ	പരമാദമ	ances	entau	a é um vação	a per visua	cent
÷	OES.: -Class	sificação	ຫວ່າວ ຜຽງລ	പരമാദമ	ances	entau	a é um vação	a per visua	cent
÷	OES.: -Class	sificação	ຫວ່າວ ຜຽງລ	പരമാദമ	ances	entau	a é um vação	a per visua	cent
÷	OES.: -Class	sificação	ຫວ່າວ ຜຽງລ	പരമാദമ	ances	entau	a é um vação	a per visua	cent
÷	OES.: -Class	sificação	ຫວ່າວ ຜຽງລ	പരമാദമ	ances	entau	a é um vação	a per visua	cent
÷	OES.: -Class	sificação	ຫວ່າວ ຜຽງລ	പരമാദമ	ances	entau	a é um vação	a per visua	cent
÷	OES.: -Class	sificação	ຫວ່າວ ຜຽງລ	പരമാദമ	ances	entau	a é um vação	a per	cent
÷	OES.: -Class	sificação	ຫວ່າວ ຜຽງລ	പരമാദമ	ances	entau	a é um vação	a per visua	cent
÷	OES.: -Class	sificação	ຫວ່າວ ຜຽງລ	പരമാദമ	ances	entau	a é um vação	a per visua	cent
÷	OES.: -Class	sificação	ຫວ່າວ ຜຽງລ	പരമാദമ	ances	entau	a é um vação	a per	cent
÷	OES.: -Class	sificação	ຫວ່າວ ຜຽງລ	പരമാദമ	ances	entau	a é um vação	a per	cent
÷	OES.: -Class -A com gem (sificação posição ectimada	ຫວ່າວ ຜຽງລ	പരമാദമ	ances	entau	a é um vação	VI SUG	cent
CLASSIFICAÇÃO	OES.: -Class -A com gem (sificação posição ectimada	ຫວ່າວ ຜຽງລ	com ba	apres	entau	vaçao	VI SUG	cent



ANÁLISE PETROGRÁFICA

E**4	P41 42 1-1					
CPRM	SUPERINTENDENCIA	Goiânia	°25.10.8	34	Na 1	
N. DA AMOSTRA/8 L_1700E/8	108	PROCEDENCIA	-		N. DY BC	НА
PETROGRAFO M. A. C.		COLETOMINIERESSADO Min.Porto E	strela S/A	MATERIAL	Rocha	170

CARACTERISTICAS MACROSCOPICAS

Rocha de coloração rósea, mostra textura inequigranular mé dia a grosseira e estrutura maciça, parcialmente alterada. Constitui-se macroscopicamente de quartzo, feldspatos, biotita e clorita.

COMPOSIÇÃO MINERALÓGICA (%)

Quartzo	30	Zircão · .
Microclínio	30	Muscovi ta
Plagioclásio (AlbOlig.)	30	
Biotita		·
Epidoto	05	
Clorita		
Sericita .		
Opaco.		

DESCRIÇÃO INICROSCOPICA

Granito mostrando textura inequigranular média a grosseira e estrutura maciça, fraturada.

E constituído dominantemente por quartzo, microclínio e pla gioclásio. Quartzo é xenomórfico, mostra extinção ondulante forma agregados de cristais ou de fragmentos de cristais de diversos tama nhos, ora tangenciais, ora imbricados entre si, intersticiais aos feldspatos. Microclínio invariavelmente pertítico é abundante curistais xenomórficos a idiomórficos, mostrando a geminação polis sintética cruzada e atingindo 6 mm no seu comprimento maior. Plagic clásio é idiomórfico tabular, mostra-se parcialmente alterado e es tá geminado segundo as leis da albita e albita-carlisbad.

Biotita verde em agregados lamelares associa-se a epidoto granular e mostra-se parcialmente cloritizada e/ou muscovitizada.

Opaco xenomórfico e zircão em cristais euédricos são os m nerais acessórios presentes.

A recristalização observada sugere processo metamórfico in cipiente.

A textura inequigranular a porfirítica sugere cristalização em condições hipabissais.

OBS.: -Classificação baseada em Streckeison e em Johannsen -Composição mineralógica estimada visualmente.

cuassificação Biotita Granito	CLASSE Ignea RUBLICA
OBSERVAÇÕES COMPLEMENTAFES	
MOD. 334	NE 2530 (C1) SA



ANALISE PETROGRÁFICA

. Na al	A1474				Nº LO	76
CPRM	SUPERINTENCENCIA	Goiânia	25.10.84	c.c.		
L-1700E/7	408	PROCEDENCIA			Nº ĐÁ RCH	۸
PETROGRAFO M.A.C.		COLETOMNICRESSADO Min.Porto Es	trela S/A	MATERIAL	Rocha	350

CAPACTERISTICAS MACKOSCOPICAS

Rocha de coloração cinza esverdeado, mostra textura micro fanerítica e estrutura maciça. Constitui-se macroscopicamente de plagioclásio e minerais máficos.

COMPOSIÇÃO MINERALÓGICA (%)

	_ ;	
Plagioclásio An 50	45	
Tremolita-Actinolita		
Clorita	50	
Epidoto		
Biotita (Remanescentes)		
Opaco		
Titanita	_,	
Apatita		

DESCRIÇÃO INICLOSCÓPICA

Rocha de composição básica, bastante alterada, mostrando textura ofítica fina remanescente e estrutura maciça.

Constitui-se dominantemente de plagioclásio, tremolita-actinolita, clorita e epidoto. Plagioclásio é ripiforme, cuédrico, mostra zonação, está geminado segundo as leis da albita, albitacarlsbad e periclínio, forma arranjos triangulares. Tremolita-actinolita verde formam agregados de prismas aciculares envolvendo os
cristais de plagioclásio e evidenciando assim a textura ofítica ori
ginal; associam-se a clorita em agregados lamelares e a epidoto em
prismas curtos. O processo de substituição do mineral mático original (uralitização) foi completa. Biotita aparece em raras lamelas
quase que totalmente cloritizadas.

Minerais acessórios presentes são opaco em cristais xonomór ficos com titanita granular em suas bordas e apatita em prismas.

Processos de uralitização, cloritização e epidotização sugorem metamorfismo de baixo grau.

Rocha cristalizada em condições de sub-superfície, hipabis

OBS.: -Classificação baseada em Johannsen e em Streckeisen
-A percentagem dos minerais apresentada é uma aproximação feita com base apenas em observações visuais.

		
classincação Diabásio	classi Ignea	RUSRICA
OPPERANCOES COMPLEMENTATES		
		ME 3630 0011 0000



ANALISE PETROGRÁFICA

CPRM	SUPERINTENSENCIA	Goiânia	25.10.84	c.c.		Nª LOTE
N° DA AMOSTRA L-1500E/7	405	PROCEDENCIA			N'	DA RCHA
PETRÓGRAFO M. A. C.		COLETOMINIEMESSADO Min.Porto E		MATERIAL	Rocha	1950

CARACTERISTICAS MACROSCOPICAS

Rocha de coloração cinza róseo, mostra textura microporfirí tica com matriz granular fina e estrutura maciça. Constitui-se ra croscopicamente de quartzo, feldspatos e biotita.

COMPOSIÇÃO MINERALÓGICA (%) Quartzo 30 Cassiterita Microclínio 30 Zircão Plagioclásio (Alb.-Olig.) Epidoto 30 Carbonato Clorita Biotita 05 Sericita Granada opago Titanita

DESCRIÇÃO MICROSCÓPICA

Microgranito mostrando textura porfirítica com matriz granu lar fina e estrutura maciça.

Pórfiros são de microclínio, plagioclásio e quartzo, variam entre l e 3 mm de comprimento. Os de microclínio são os mais abundantes, invariavelmente pertíticos, tabulares, subidiomórficos. Os de plagioclásio são tabulares, idiomórficos a subidiomórficos, geminados segundo as leis da albita e albita-carlsbad. Os pórfiros de quartzo são xenomórficos, mostram extinção ondulante, estão fratura dos e recristalizados.

A matriz constitui-se de quartzo e feldspatos, plagioclásio e microclínio, que aparecem como nos pórfiros. Observa-se processo de recristalização. Biotita verde está parcialmente cloritizada. Granada aparece em raros cristais xenomórficos.

Epidoto, sericita e carbonato são minerais secundários. Opaco xenomórfico, titanita e cassiterita subidiomórficos, zircão em cristais eucdricos além de granada são os minerais. aces sórios presentes.

A textura porfirítica com matriz fina bem como a presença de cassiterita e de granada, sugerem cristalização em condições de sub-superfície; fácies de borda ou cúpula.

OBS.: -Classificação baseada em Streckeisen.
-A composição mineralógica dada é uma percentagem es timada, feita com base em observação visual.

ciassiicacão Microgranito Porfirítico	******** I gnea	EUBEICA
OSSERVAÇÕES COMPLEMENTARES MOD. 334		~ ·
		MC 7530 0011 0000



M.A.C.

	ANALISE PETROGRAP	ICA.		
CPRM	SUPERINTENDENCIA GOIÂNIA	PATA 25.10.84	C.C+ -	Nº LOTE
PG-144-R	PROCEDÉN	ici,		N° DA RCHA
PETRÓGRAFO	COLETORIN	TERESSADO	MATERIAL	

Min.Porto Estrela

CARACTERISTICAS MACROSCÓPICAS

Rocha de coloração cinza, mostra textura porfirítica com na triz granular fina e estrutura maciça. Constitui-se macroscopicamen te de feldenatos, quartzo e biotita.

Rocha

COMPOSIÇÃO MINERALÓGICA (VA)

	. y y	HYLLICALOGICA (70)
Quartzo .	30	Ti tani ta
Microclímio	30	Zircão
Plagioclásio	25	Apatita
Biotita	10	
Epidoto		
Sericita		
Clorita		
Opaco		

DESCRIÇÃO MICROSCÓPICA

Granito mostrando textura porfirítica com matriz granular fina, recristalizada e estrutura macica.

Pórfiros são de microclínio, quartzo e plagioclásio, gem 5 mm de tamanho. Os de microclínio são pertíticos, tabulares, subidiomórficos a xenomórficos, mostram a geminação polissintética cruzada. Os de plagioclásio são tabulares idiomórficos a subidiomór ficos, geminados segundo as leis da albita e albita-carisbad, tram-se fortemente saussuritizados. Pórfiros de quartzo são raros, xenomórficos, mostram extinção ondulante, estão fraturados e recris talizados.

A matriz constitui-se de quartzo e feldspatos granulares e agregados lamelares de biotita verde, parcialmente cloritizados.

Clorita em agregados lamelares, epidoto granular ou em pris mas curtos e sericita em finas palhetas são os minerais secundários presentes.

Minerais acessórios são opaco xenomórfico, titamita subidic mórfica, zircão em cristais euedricos e apatita ora em prisuas, ora em secções basais hexagonais.

A textura porfirítica indica condições de cristalização pro cimas da superfície, sendo portanto a rocha de origem de dique ou de fácies de borda.

> OBS.: -Classificação baseada em Johannsen A composição mineralógica apresentada é uma percenta gem estimada através de observação visual.

classincação Biotita-Granito	Pórfiro		Liasse Lignea/Me	ctamórfi	a	RUSRICA
OESTEVAÇÕES COMPLEMENTALES		·				C:>>
MQD, 334					,	115 3530 posts so:

	•	
CPRM		

REQUISIÇÃO: NO DE CAMPO :NPT-L400E/1350s ...

LOTE No . 572/MA...

Nº DE LABORATORIO: .EAT.604.....

Minerais

Características Mesoscópicas

Rocha ignea de composição granitica com coloração mesclada em ver de e rosa, faneritica inequigranular porfiritica, com matriz fina e fe nocristais ovalados de granulação grossa, composta mineralogicamente por feldspatos, quartzo e máficos.

Composição Mineralógica

Minerais

Plagioclásio-60% fenocristais-45% Microclínio -40% fenocristais-45% Matriz fina -55% Quartzo

Ortoclásio Plagioclásio Hornblenda/actinolita Epidotos

Rocha

Biotita-hornblenda-adamelito |quartzo-monzonito porfiritico

Орасов Esfeno

Hilton Tulio Costi

Biotita cloritizada

Sericita/damourita

Oxidos de ferro

Classe

Îgnea intrusiva subvulcânica

nformações Complementares

S.G. Uatuma/Granito Maloquinha(?)

REQUISIÇÃO:..........

LOTE Nº 572/MA

Nº DE CAMPO: NPT-1400E/13508(xenôlito)

Nº DE LABORATORIO : EAT 605.....

Características Mesoscópicas

Rocha de coloração esverdeada com pontuações esbranquiçadas, afa nitica homogenea e estruturalmente isotropa. A granulometria fina não permite a identificação da composição mineralógica.

Composição Mineralógica

Minerais

Fração microcristalina possívelmen te quartzo-feldspatica (albita+ quartzo?) ~ 35%

Biotita Épidoto

Cloritas

Actinolita (microfenoblastos) Opacos

Minerais

Apatita Zircão

Oxidos de ferro

Metamórfica termal

Rocha

Ver observações

Informações Complementares

Petrógrafo

Hilton Tulio Costi

Observações :

NPT-1400E/1350S(xerólito): Cornubianito derivado de rocha intermedia ria a basica, possivelmente andesítica, intensamente recristalizada.

PETROGRAFICA ANALISE



CPRM	•	
REQUISIÇÃO :	• :	lote no: .572/MA no de laboratorio : .BAT.606

Características Mesoscópicas

Com	posição Mineralógica
Minerais	Minerais
Actinolita	
Biotita	
Epidotos	,
Cloritas	
<u> </u>	
llasse	Rocha
Metamórfica termal (?)	Ver observações.
nformações Complementares	Petrógrafo //

LOTE No : . 572/MA REQUISIÇÃO: Nº DE CAMPO : .NPT-L3800E/1100S Nº DE LABORATORIO : E4T. 607......

Características Mesoscópicas

Rocha ignea vulcânica ácida de coloração acastanhada com esbranquiçadas, matriz afanítica e fenocristais de granulação manchas moderadamente fraturada e de composição provavelmente riodacitica.

Composição	Mineralógica	
Minerais Plagioclásio fenocristais -10% Ortoclásio fenocristais -10% Matriz wicrocristalina quartzc-felds pática - 90% Biotita Opacos Epidotos (como preenchimento de mi crofraturas e alteração)	Minerais Cloritas	
Classe	Rocha	 .
Ignes vulcânica informações Complementares	Riodacito Petrógrafo	
S. G. Uatumā / Grupo Iriri	Hilton Tulio Costi	Ti

NFT L900E/1100S: Rocha constituída inteiramente por anfibólios, micas e epidotos, isenta de quartzo e feldspatos, derivada de uma rocha ultra máfica (hornblendito ou piroxenito).

ANEXO 10

NOUG PLANETA PROSM. REGIONAL SELLATION C 80# espectrogricotica

riff mega

DADOS:

500 500 500 500 500 500 1000 734 1

N= 18

PARAMETROS
AMOSTRAIS(aritm.):

Md=	146.1111
Var=	15189.8692
DP=	123.2471
CV=	84.3516%

MEUO PLANETA PROSP. REGIRNAL SED.ATIVO C 80% espectrogr.otica

ppm Ba

DADOS:

1598 2006 5906 1838 268 2068 306 590 8 10988 2078 3008 1838 268 2068 306 590

N= 18

PARAMETROS AMOSTRAIS(an(tm.):

Md=	330.5555
Uan≃	76264.3791
DP=	276.1600
CV=	83.5442%

NOVO PLANETA
PROSP. RESIDNAL
SED.ATIVO (80%
espectroar.atica

ppm Zr

DADOS:

5008 10090 5881 1570F 3006 200F 598 B 10004 586 1006 788 1556 1002 703± 10030 7384 7096 2098

N= 18

PARAMETROS AMOSTRAIS(aritm.):

Md=	409.4444
Van=	124840.8496
DP=	353. 32 82
CV≃	86.29457





9.713	
, 200,000 i	<u></u>
j 10.000 .	,
\$37,649	
-31.833	,
\$30.2	 -
e(3.0%	
244, 300	
\$20.050	
304,000	ł
24,50,650	Ļ
1103.300	
	!
	•

NORTIO	:	INTER	MALC
68, 27X	22.403	ń	269.350
35. 45k	- 190, 762	r	3,52,695
33.724	-232.633	0	5:5.407

NORMG	1	HTER	WED
69.22%	34.735	r	606, 715
95.45%	+221,764	R	882, 875
99.23%	-437, 321	0	1155.633

NORTH		3H1E#	OUT U
69.75%	50.116	ė	262.722
25.45%	-252,212	٠, د	:116.199
29.722	-650, 942	a W	1469.4.5

CORTO OSTACO CO 18/05/85 Diretoria de Operações — LAMIN MARIO DE REQUISIÇÃO: TAX. 07.05/85 ANALISE ESPECTROGRÁFICA SEMIQUANTITATIVA

CPRM PROJETO: ILL. CLEGA GOLO TOR LO ESTUADO S. A.

LOTE Nº: 4-150-624

PERF / COMP

(0.05) (0,02) (0,05) (0,002) (10) (0,5) (200) (10) (10) (20) Nº DE LABORATÓRIO CARTÃO Nº DE CAMPO S Fe % Mg % .Co % Ti % Αu 80 29 30-35 43 44 49 16 - 21 23 - 28 36 37-42 2 - 7 9 - 14 51-56 58-63 64 65 70 77 78 79.80 71 - 76 30 200 50 3 200 10 GSD 0.005 100 201 09 003 200 15 0.3 30/3 40.05 200 150 0.5 (NI) 0.05 NID 20 700 27/3/3 200 NID 09 0.5 500 09 9/24 0.05 300 30 005 0.7 15 200 09 100/3 1,40.05 500 15 27/36 0.02 0.3 200 100 09 100 135 /3 7 09 500 20 0.2 30t-028 0.05 70 10 100 09 0.05 0.5 150 15 500 09 RC2. 03 9 0.05 140,02 0.03 10 10 7-8/6 10 09 200 0.15 1.40,02 100 0.15 10 09 36/5 11 300 0,2 0,03 1 0.05 10 50 09 150 134/4 12 0.03 440,05 0.2 0,1 52/4 13 50 10 70 09 0.2 0,02 0.2 50 0.05 05 10 700 09 18/5 14 0,05 64.05 0.2 100 0.5 30 FG 39 15 30 09 0.05 1,40.05 0.5 150 0.9 55C 03 16 70 500 0,03 10 50 09 GON 09 17 1000 40.02 1.40,05 09 300 10 FG 69 18 200 0,02 40,05 0.1 50 168A /3 19 10 09 50 0,15 0.5 300 410 1000 CM-171- R 20 0,15 0.1 0.05 200 < 10 CM- 69- R 21 300 09 0.2 0.3 500 <10 MF- 14-R 22 700 0,2 100 < 10 FG-353. R 23 1000 500 < /0 FC 383-12 124 500

NOTA. Fe, Me, Ca & Ti estão expressor em %, todos os dutros elementos estão expressor em pam. Os resultados obedecem o série t; 0,7; 0,5; 0,3; 0,2; 0,15; 0,1 etc.

On timiras interiores da detecto estão entre porênteses

boy 303.19 FI

NE 7530 Date 7995

2/3 1 Data 1 Deta LOTE No:____ FILME No: 4- 150- 2 200

DATA: 07/06/85 ANALISTA: 02 (10) (20) (5) (10) (5) (20) (5) (10) (5) 80 Βi Cd Nº DE LABORATORIO CARTAO Nº DE CAMPO S Co Сr Cu Μо Ni 2.7 9-14 16 - 21 23-28 29 30 - 35 37 - 42 43 44 - 49 51-56 58-63 65.70 71.76 77 78 79-80 50 30 30 50 50 50 50 30 50 50 GSD 10 20 10 < 5 15 5 30 /3 ND NO 10 6 < 20 10 ND 10 27/33 410 < 5 20 100 5 10 9/24 10 50 20 10 100/3 5 4/0 15 5 10 27/36 <10 < 5 70 15 10 135 13 17 1.5 .5 10 20 20 10 Bot-02 8 210 70 5 15 10 RIE- 03 9 1 (09) In 2000 7 10 1 C 78/6 < 5 1(40 5 6 < 10 10 36/5 12 6 < 1 <10 10 13414 < / 5 1.510 5 10 5814 13 20 1210 5 10 18/5 14 10 15 < 20 10 5 10 FG 39 15 < 10 < 5 77) 10 10 65C 03 < 110 N + 2040 12 10 10 GON 09 17 10 -5 2000 15 10 10 _FG 69 10 < 5 ROND 10 10 168A 13 19 5 15 70 410 10 CM-171- R 20 5 410 T 5 100 20 10 10 CM- 69- R 21 1.5 150 10 100 10 15 10 Mr. 14. R 22 1.5 7 10 10 70 7. 10 10 FG - 353. R 23 50 10 . 7 10 rg_ 283-12 24 Ga Melor que a valor reglatrado (limite auperiar de dalegão) H= tpterterencia La Menar que a valor registrado (limito inferior de

N: tido detetada

OATA: 071 06185 ANALISTA: The Cuim CRQ nº 02400194 - 2a. R.

LOTE Nº:....

(200) (10) Nº DE LABORATÓRIO CANTÃO Nº DE CAMPO (10) (100) (10) (50) (100) (5) (10) (10) Zη Zτ Sr Sn Sb , Sc Pb 71-76 77 78 79-80 44-49 50 51-56 58-63 64 65 - 70 30-35 37 - 42 16 - 21 23 - 28 9 - 14 2 - 7 1.1 NID NB < 100 ND <10 1.1 -1.1 **I** 1 < 10 1.1 le 10 < 10 1.1 1.1 a71000 1.1 <10 085.0 312 e um proviscio de depertusion pour conécolo de pleur. O bouro terr de postivo dos accoustras escas poste cons 2,6,5,6,1,8,9,11,13,13,15,16,18 e 10 province apeter o pesudiado de celes elemendos tais como. Cy po inco sos sos son por portendar a provincia es sectionarios de celes elemendos tais como. Cy po inco sos sos son portendar a periode es sectionarios.

400 303 - 38 M AD Westernelin wo Enter's posses

Minte 1 PERF. PERF/CONF Ct. datada de 18/05/85 Diretorio de Operações - LAMIN +Dato REQUISIÇÃO: TUX 0705 185 ANÁLISE ESPECTROGRÁFICA SEMIQUANTITATIVA
PROJETO: MARISERGA PORTO ESTERRAS A FILME Nº 5-160-414 (10) (20) Nº DE LABORATORIO CARTÃO Nº DE CAMPO (200) (10) (0.05) (0.002) (10) (0,5) (0.02) (0,03) Вσ Αu Αa Co % TI % Min Mg % Fe % 77 78 79-80 71 - 76 64 65 - 70 36 37-42 43 44-49 50 51-56 58-63 23 - 28 | 29 | 30 - 35 9-14 15 16-21 100 10 20 50 200 200 0.005 mr. 72- 3 510 300 0.5 200 200 0.1 0.07 09 FG. 318- 2 NA 410 200 01 100 0.05 FG - 344 - R < 10 300 700 MF. 59. R 410 50. 700 FO. 38 - R < 10 500 700 MF. 95. R < 10 500 500 02, < 10 500 500 FG. 351. A < 10 500 700 ME 87- R 09 10 < 20 100 0.15 0.02 05 TRINCHEIRA <10 0.5 700 700 400 = 12 00 5 12 0.9 200 10 1.410 < 20 100 0.02 0.02 09 09 09 09 16 09 09 09 09 09 09 **i22**i 23 09 09 24 Fe, Mg. Ca a Ti esida expressor em %, todos os outros elamantos están aspresson em ppm. Os resultados abedecem E serie 1, 0,7; 0,5; 0,3; 0,2; 0,15; 0,1 41c. Os limitas inferiores de dateção estão entre porêntesas. 5=232 NE 7530 0211 7999 JY 36

7:347

FILME Nº 4-160- 444

╙																										
S	ı	(;) Be		(10) Bi	((20) Cd		(5) Co		(10) Cr		(5) Cu		(20) La		(5) Mo .		(- 10) Nb		(5) NI	Nº DE LABOR	ΑΤÓ	RIO	CARTÃO	Nº DE CAMPO	S
0		2 - 7	8	9 - 14	15	16 - 21	22	23-28	29	30.35	36	37-42	43	44 - 49	50	51-56	57	58-63	64	65 - 70	71 - 76	77	78	79-80		0
		50		50	Ц	30		30		50		50	_	.50	L	50		30	L	50					630	ı
2	L	1	12	10	u	20	14	5_	A.	10	4	< 5	N	20	11/	_5_	1	< 10	N	5			L	10	mr. 27. R	2
3	Ŀ	41	Ц		1		N	5	N	10	4	<u> 5</u>	N	20	<u> </u>	(1	<10	N	5		L	_	10	FG 318 R	3
4	4	<1	Ш		H			20	Ц	10	L	30	1/	20	1	(↓_	10	L	30	<u> </u>	L			FG-344. R	4
5	N	J		}	Ц		Ц	50		100		50	1/2	2.0	Ц	<u> </u>	<u> </u>	10		100			_		MF. 59. R	5
6		1,5					M	5	Ц	100		10		50	Ц,		_	10	7	< 5		L	L		ED. 28- R	6
1		1,5		(Ш		4	. کی	μ/	10	_	_5		50	- {		L	10	ν	_5_				10	NF. 95. R	7
8	_	2		(Ш		Z	< 5	И			5		- 70-	£		<u> </u>	10	v		•	L		10	FG: 12- R'	а
9	_	1,5			Щ	(H	. 5-	[-]	}	_	10	Ц	70_	-	{	L	10	4	< 5					FG. 351-R	9
		1.	M	√	4		4	<u> 5-</u>			L	< 5		50	Ì	<u>.</u>		10	Z	< 5		<u> </u> _				10
11		2	44	10	4	<u> </u>	4	< 5	-			7			1/		<u> </u>	10	4	<u>~ 5</u>			Ш	,,,,	TRINGHEIRA DAVON TRINCHCIPALS	쁘
12	4	*		200	ν	20		5	14	10	_	15	44	20		150	-	_10	Ц	.5		L	_,	. *	4000/3 005	12
+3	_						П	· -"			-											-	·	+0		크
14	_		\dashv		_						_		\dashv		_		Ц		Щ				Ц	10		14
15	_		\dashv		4		\sqcup		Ц		_				_				_			_	Ц	10		15
16	-		-		4		_					·	_		_								Ц	10	**	16
17	4		-		-		- -						1						_	,				10	·	17
18	_		_		-						_		_		_		Ш							10		81
 	4		_		4						4		_								 			10		19
20			\dashv		_		\sqcup		_		4		_		\downarrow				_		<u>.</u>			10		20
21	4	J	-		+				4				4		_				_					10		21
22	_		4		4		\dashv		_				_ .		_				_	i				10		22
23	4		-		\downarrow		┥.		_		_		\dashv		 				_	[10		23
24			بل	Calor que		alar roo		44 1153								<u></u>	Ш		_			<u>۔ </u>		10		24
				-eigr güş	v 1	ruige ragi	# T F O	110011 989	• Bu	perior de	d s	itecăa l		Ha Interfe	<i>,</i> 1 ~	cia										_

o valor registrado (limite superior de deteção) La Menor que o volor registrado (limite interior de deleção) MOD. 303 - 29 FL

DATA: 07,06,85 ANALISTA: MATARIA

H= Interferâncio

ZIARINA ACUIAR FARIA .

Téc. Quim. CRQ nº 02400194 . 20. R.

N. S.	h .		07	~	24				Téc	21.	ARTNA. AC	UL	X	IA.,			. 18	PAW .	Ţ,		LOTE NO.	機				
! •}^	DAT	Ά:	Qt.1.	00	1.4.9.	A	NALISTA:		T	Q	oim. CRQ	ny u	2400174	,			ŢŰ.	to de		HAL	FICHEIN	3	歉	13		
9	(10)		(100)	1	5)	Τ	(10)		(100)	T ([10].		(50)		(10)	7	,200)		الأدمانا	NS.DE LABORA	TOF	NO K	ATTAO	NE CAMPOL	
E	Pb		\$ b		Sc	L	S n	Ĺ	Sr	<u>.</u>	٧	L	W	_ _		Y		Azn¥	4	Z,T	1 AN W			23	关于数据 1 计数据 加坡	
o li	2 - 7	θ	9 - 14	15	16 - 21	22	23 - 28	29	30-35	36	37 - 42	43	44 - 4	9 5	이	51-56;	52;	4	64	65. 70 ₀	4.7 1.6 76 W.	7,7	78	79-80		
	50	11	100	N	5		50_	1/	100	Ŀ	50		50			50	<u>.</u>	3200		304						
2/	210	١,	100	N	_5	N	10	4	2100		10	N	.50		1	20	84.	200		720	8. d 1	٠٠		!!	一, 所 中国市场	4
3 /	< 10	7	1	N			1	1	<100	4	< 10	1	(10	K.	200	_	70		Ľ	Ц	11.	The state of the s	-}- - ,
4 2	410	П)		75	$ \cdot $	\ \ \ \ \ \ \ \ \ \ \ \ \ \ \ \ \ \ \		300		100)			30	4	200		1000	<u> </u>	<u> </u>		şl 15	3 7 7	
5 N	10	Σ			- 20	П)		200		100		\			10	1	1200		50	· 141 14 1.15	 			中海南北海州南南	15:
6	10	П	5		7	I(100		10					50	N	200		200	Wast for the	100	,dao	41:1	104 9400	6
7	20	П	}		. 7	7	}		100		30				Ì	50 .	N	200	1.		种副模型			ąį 🏳	ALTONOMY TO A STATE OF	
8	10	T	}		7	1	}	7	< 100		20'	7	/•		ľ	50	N.	200	٠,	150	和一种	9-9	E I.	ά(j),	中这条所需要任	44
9	10	П			10	13			150		501	1	<u> </u>			70	Ĺ	1200	ě,	200	· 大學學	13	3.	争		
ĺ	10.	?	7	W	5			Ŋ	100	2	<10_)				30	11	200		70	Specific sp. A.	51.4	7	F 1-1-	The same of the same	
"	10	J	3,		10	l,	\ 7		100		20_	7)1		⊥	50	N	200	L	100	भूगक्षेत्रक्षे «	74	3.	अक्ष	STING AND ST	و الهجاك
2	20	N.	100	N	5	N	10	ν	100		<10	N	.50	2 1	4	(0)	N	200	W	10.		į	řá:	<u>#11</u>	Brank Willy to 6	Již
3											·········				+		-	1		126-5	1 4 2	+ 1/nl	rik.	, 1 fe	The House of the surface	43
4			•						Ļ			١						4.4	_	种格的 等。	Ade Sta 3 Fa	140	38	\$1 1p	新春春 鄉 年初	14
5					•						ı				-			4.4	,	他们被约2	· With Figs 1.	1	r it	នស្វ	は本一部の直へ下	15
6					• • • • • • • • • • • • • • • • • • • •				· ·									-4 1 4 "*		特爾科	解 油油油	193	ŧ	នាទី	图中特别派教育	16
7					į		[•	19 📆 🔭	1 7	*		řt ř	(4) 横小山	17
8					i									Т	7			<u>-</u>						11		18
9														_	T				-					11		19
:0			· <u></u>		٠.			7			·				T					·	•		П	11,	1	20
2 4		1						7		_					T	ş.f	₽ 3	を できます	\$ 1	海湖水塘。	神经神经神经	菱	*	Mar.	州南州山湖村	21
2 4		7						7		\dashv	, 2				1	, M. 4	ė,	4.	*		Will and American				THE LANGE FROM	127
3 4		\dashv						7		\dashv	74	<u>;</u> ,	,	_	+	*	X	A ST	·4:			蘆			CAN MARKAN	即
4				-		\dashv		寸	· · · · · · · · ·	-				_	- -		•	, Eng Jara		. S. 77 M.			蒙	PI,D		[2]
!	D 630		*****	79 50 6	2000 U	البيرا	2010 20		C4.67 355	<u>ب</u> 440	- Getter	ا جراد	~ Co	Der -	1	Puce.	لح	Bruin	2 5	1 1 1		^.4	ا کانت ا وخواجی	A	CLENT CONT SE	

and be an in a wind the first to the said the sa